## **AC simulation**

linear steady-state simulation in frequency domain



Name	Default Value	Description	
Туре	lin	[lin, log, list]	
Start	1 GHz		
Stop	10 GHz		
Points	19		
Noise	no	calculate noise voltages [no, yes, contrib]	
output	none	additional results in dataset: DC values, bias currents or power? [none, dc, bias, power]	

## **Aktionen im Schaltungseditor**

## Allgemeine Aktionen

(In allen Modien verfügbar)

Mausrad	Vergrößert oder verkleinert die Ansicht der Zeichenebene. Das funktioniert auch während Operationen wie z.B. dem Verschieben von Komponenten.	
Mausrad + Umschalt- Taste	Verschiebt die Zeichenebene horizontal. Sie können auch die aktuelle Größe der Ebene verändern. Das funktioniert auch während Operationen wie z.B. dem Verschieben von Komponenten.	
Mausrad + STRG-Taste	Verschiebt die Zeichenebene vertikal. Sie können auch die aktuelle Größe der Ebene verändern. Das funktioniert auch während Operationen wie z.B. dem Verschieben von Komponenten.	
rechte Maustaste	Drücken und Loslassen öffnet Menü. Gedrückt-Halten und Bewegen verschiebt die Zeichenebene.	
mittlere Maustaste Aktiviert bzw. deaktiviert Komponente unter dem Mauszeiger.		
Drag'n'Drop Datei auf Dokumentenfläche		



## Selekt-Modus

(Menü: Bearbeiten→Anwählen)

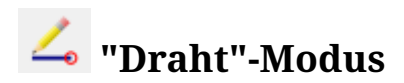
Linke Maustaste	Wählt das Element unter dem Mauszeiger an. Falls sich mehrere Elemente dort befinden, kann durch mehrmaliges Drücken das gewünschte selektiert werden. Wird die Maustaste gedrückt gehalten, kann das Element und alle bereits angewählten mit dem Mauszeiger verschoben werden. Falls die Elemente sehr genau plaziert werden sollen, kann durch Drücken der Strg-Taste das Gitter ausgeschaltet werden. Befindet sich kein Element unter dem Mauszeiger, dann entsteht
	Befindet sich kein Element unter dem Mauszeiger, dann entsteht sich durch Drücken und Bewegen der Maustaste ein Rechteck. Nach loslassen der Maustaste werden alle Elemente innerhalb

	dieses Rechteckes angewählt.  Die Größe einer selektierten Zeichnung oder Diagramm kann verändert werden, indem die Maustaste über einer der markierten Ecken gedrückt und bewegt wird.  Die Position, auf der eine Diagramm-Markierung zeigt, kann verschoben werden, indem man auf das kleine Rechteck auf der Graph-Position drückt, und die Maustaste während der Bewegung gedrückt hält.  Nach Drücken auf den Text einer Komponente, kann dieser direkt editiert werden. Mit der Eingabe-Taste wird zum nächsten Parameter gesprungen. Handelt es sich bei dem Parameter um eine Auswahlliste, kann diese mit den Cursortasten hoch/runter geändert werden.  Drücken auf einen Schaltungsknoten wechselt in den Modus zum Drahtzeichnen.
Linke Maustaste + STRG- oder Umschalt-Taste  Erlaubt es mehr als ein Element anzuwählen, d.h. das Ander eines Elementes wählt die bereits selektierten nicht ab. D Vorgehensweise funktioniert auch bei dem Anwählen im rechteckigem Bereich (siehe oben). Drücken auf ein selek Element zusammen mit der Umschalt-Taste wählt dieses	
Rechte Maustaste Öffnet kontextabhängiges Menü. Drücken auf einen Draht v	
Doppeldruck der rechten (Bezeichnung der Drähte, Parameter der Komponenten etc.).	

## "Element einfügen"-Modus

(Drücken auf eine Komponente/Diagramm/Zeichnung aus der linken Auswahlliste)

Linke Maustaste	Fügt eine neue Instanz der Komponente/Diagramm/Zeichnung in die Schaltung ein.
Rechte Maustaste	Dreht die Komponente. (nur bei Bauteilen)
Mittlere Maustaste	Spiegelt die Komponente. (nur bei Bauteilen)



(Menü: Einfügen→Draht)

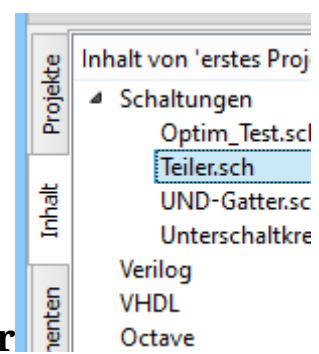
Linke Maustaste	Setzt den Anfangs-/Endpunkt des Drahtes.	
Rechte Maiistaste	Ändert die Richtung des Draht-Winkels (zuerst links/rechts oder zuerst hoch/runter)	
Doppeldruck der rechten Maustaste	Setzt Endpunkt des Drahtes, ohne an einen Draht oder Knoten angeschlossen zu sein.	



## "Einfüge"-Modus

(MenÜ: Editieren→Einfügen)

Linke Maustaste	Fügt die Elemente in die Schaltung ein (aus der Zwischenablage).
Rechte Maustaste	Dreht die Elemente.



# Maus im "Inhalt" Tabulator

Linke Taste	Selektiert Datei.	
Doppelt-Druck	Öffnet Datei.	
Rechte Taste	Zeigt Datei-Menü an.	

#### **Tastatur**

Die meisten Aktionen können durch Tastendruck aktiviert/erledigt werden. Das sieht man im Hauptmenü direkt neben den Kommandos. Einige weitere Tastenkommandos

### im Schaltungsfenster sind in der folgenden Liste erklärt:

"Entfernen" oder "Löschen"	Löscht die angewählten Elemente oder aktiviert den "Löschen"- Modus, falls keine Elemente angewählt sind.	
Eingabe-Taste	Falls ein Element angewählt ist, wird ein Dialog zum Editieren dieses Elementes geöffnet.	
Cursor links/rechts	Ändert die Position der angewählten Marker auf ihren Graphen. Falls kein Marker angewählt ist, werden die angewählten Elemente um ein Gitter verschoben. Falls auch keine Elemente angewählt sind, wird die Dokumenten-Ebene verschoben.	
Cursor hoch/runter	Ändert die Position der angewählten Marker auf mehrdimensionalen Graphen. Falls kein Marker angewählt ist, werden die angewählten Elemente um ein Gitter verschoben. Falls auch keine Elemente angewählt sind, wird die Dokumenten-Ebene verschoben.	
Shift+Cursor	Falls Differenz-Marker auf einem Graphen angewählt sind, wird die Referenz-Position verschoben. Falls kein Marker angewählt ist, werden die angewählten Elemente um ein Pixel verschoben.	

zurück nach oben

## Anpaßschaltungen

Eine Anpaßschaltung zu erzeugen, wird in der Mikrowellentechnik oft benötigt. Das Programm kann dies automatisch erledigen. Die folgenden Schritte sind dazu nötig:

- S-parameter-Simulation durchführen, um den Reflexionskoeffizienten zu berechnen.
- Diagramm einfügen, um den Reflexionskoeffizienten anzuzeigen (z.B. S[1,1] für Port 1, S[2,2] für Port 2 usw.).
- Markierung auf den Graphen setzen und sie zu der gewünschten Frequenz verschieben.
- Rechte Maustaste auf der Markierung drücken und im Menü "Leistungsanpassung" wählen.
- Ein Dialog erscheint, wo Werte geändert werden können, z.B. kann die Referenzimpedanz von 50 Ohm verschieden gewählt werden.
- Drücken des "Erzeugen"-Knopfes wechselt zurück zur Schaltung und beim Bewegen des Mauszeigers kann die Anpaßschaltung eingefügt werden.

Die linke Seite der Anpaßschaltung ist der Eingang und die rechte Seite muß mit der Schaltung verbunden werden.

Wenn die Markierung im Diagramm auf eine Variable namens "Sopt" zeigt, erscheint im Menü die Option "Rauschanpassung". Der einzige Unterschied zur "Leistungsanpassung" ist der, daß der konjugiert-komplexe Reflexionskoeffizient verwendet wird. Falls die Variable also einen anderen Namen besitzt, kann die Rauschanpassung dadurch erreicht werden, indem man die Werte im Dialog entsprechend ändert.

Der Anpaßdialog kann auch über das Programm-Menü (Werkzeuge→Anpaßschaltung) oder durch die Tastenkombination <STRG-5> aufgerufen werden. Dann müssen jedoch alle Werte manuell eingetragen werden.

### 2-Port-Anpassung

Wenn der Variablen-Name im Text der Markierung ein S-Parameter ist, Dann existiert die Option für eine gleichzeitige Anpassung von Ein- und Ausgang eines 2-Tores. Das funktioniert ganz ähnlich wie die oben beschriebenen Schritte. Das Ergebnis sind zwei L-Schaltungen: Der ganz linke Knoten ist der neue Port 1 und der ganz rechte der neue Port 2. An den zwei Knoten in der Mitte wird die 2-Port-Schaltung angeschlossen.

zurück nach oben

### Arbeiten mit Unterschaltkreisen

Unterschaltkreise werde benutzt, um mehr Übersichtlichkeit in eine Schaltung zu bringen. Das ist sehr nützlich für große Schaltungen oder für Schaltungen, in denen ein Komponenten-Block mehrere Male vorkommt.

Jede Schaltung, die einen Unterschaltkreis-Anschluss beinhaltet, ist ein Unterschaltkreis. Sie erhalten einen Unterschaltkreis-Anschluss, indem Sie die Werkzeugleiste benutzen, die Liste der Komponenten-Klassen (in "konzentrierte Komponenten") oder das Menü (Einfügen→Anschluß einfügen). Nachdem Sie alle Ports eingefügt haben (z.B. zwei), muß die Schaltung gespeichert werden (z.B. STRG-S). Wenn Sie anschließend einen Blick in den Inhalts-Tab (Bild 1) auf der linken Seite werfen, sehen Sie dort ein "2-Port" neben den Schaltungsnamen (Spalte "Bemerkung"). Dieser Hinweis kennzeichnet alle Dokumente, die Unterschaltungen sind. Drücken Sie auf den Namen der Unterschaltung. In der Zeichenfläche führt der Mauszeiger nun das Symbol der Unterschaltung mit sich und sie kann durch Drücken der linken Maustaste in die aktuelle Schaltung eingefügt werden. Tun Sie das und vervollständigen die Schaltung. Wenn Sie jetzt eine Simulationdurchführen, ist das Ergebnis das gleiche, als wenn die Komponenten der Unterschaltung direkt in der Haupschaltung vorhanden wären.

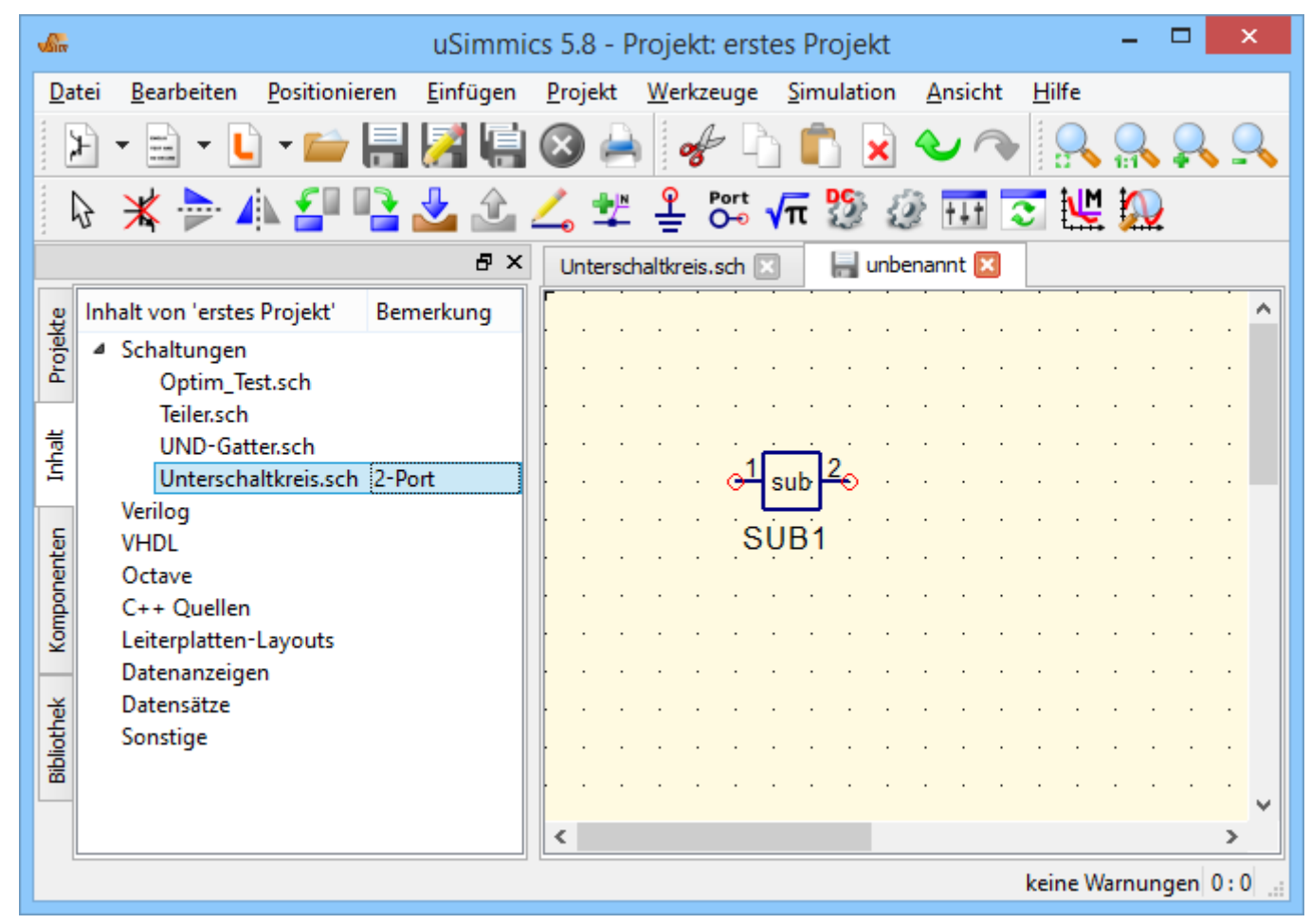


Bild 1 - Zugriff auf eine Unterschaltung

Wenn Sie in einer Schaltung eine Unterschaltungskomponente anwählen, können Sie

das Dokument dieser Unterschaltung öffnen, indem Sie STRG-I drücken (natürlich ist diese Funktion auch über die Werkzeugleiste oder über das Menü erreichbar). Mit STRG-H können Sie zum vorigen Dokument zurückkehren.

Falls Sie das Schaltungssymbol einer Unterschaltung nicht mögen, können Sie Ihr eigenes zeichnen. Sie brauchen nur die Unterschaltung öffnen und den Menüpunkt "Datei→Schaltungssymbol editieren" wählen. Falls Sie noch kein Symbol für diese Schaltung gezeichnet haben, wird automatisch ein einfaches Symbol erzeugt. Jetzt können Sie das Symbol verändern, indem Sie Linien, Kreisbögen usw zeichnen. Wenn Sie fertig sind, muß das Dokument gespeichert werden. Fügen Sie die Unterschaltung anschließend in ein Dokument ein, so geschieht das mit dem neuen symbol.

Genau wie alle anderen Komponenten, können auch Unterschaltungen Parameter besitzen. Um diese Parameter zu erzeugen, kehren Sie zurück zu dem Editor, wo Sie das Schaltungssymbol gezeichnet haben. Dort doppel-drücken Sie auf den Parameter-Text. Ein Dialog erscheint, wo Parameter mit ihren Default-Werten und Beschreibungen hinzugefügt werden können. Wenn Sie fertig sind, schließen Sie den Dialog und speichern Sie die Unterschaltung. In allen Dokumenten, wo die Unterschaltung eingefügt wurde, besitzt sie nun die neuen Parameter. Diese können beliebig editiert werden, genau wie in jeder anderen Komponente.

zurück nach oben

# Quantization

quantization with signal matched filter



Name	Default Value	Description	
samples	0	number of samples per pulse (0=take number of simulation component)	
shape	dirac	pulse shape for correlation filter [dirac, rectangle, linear, cosine, root-cosine, gauss]	
n	2	number of discrete states	
max	1	value for maximum discretization (for bipolar => negative)	

## Benutzermodelle erzeugen

Eines Tages wird es vorkommen, das man eine Komponente benötigt, die noch nicht existiert. Jetzt muß der Benutzer sein eigenes Modell entwerfen. Eine einfache und schnelle Methode, dies zu tun, bietet die *Formel-Komponente*, welche sich bei den nichtlinearen Komponenten befindet.

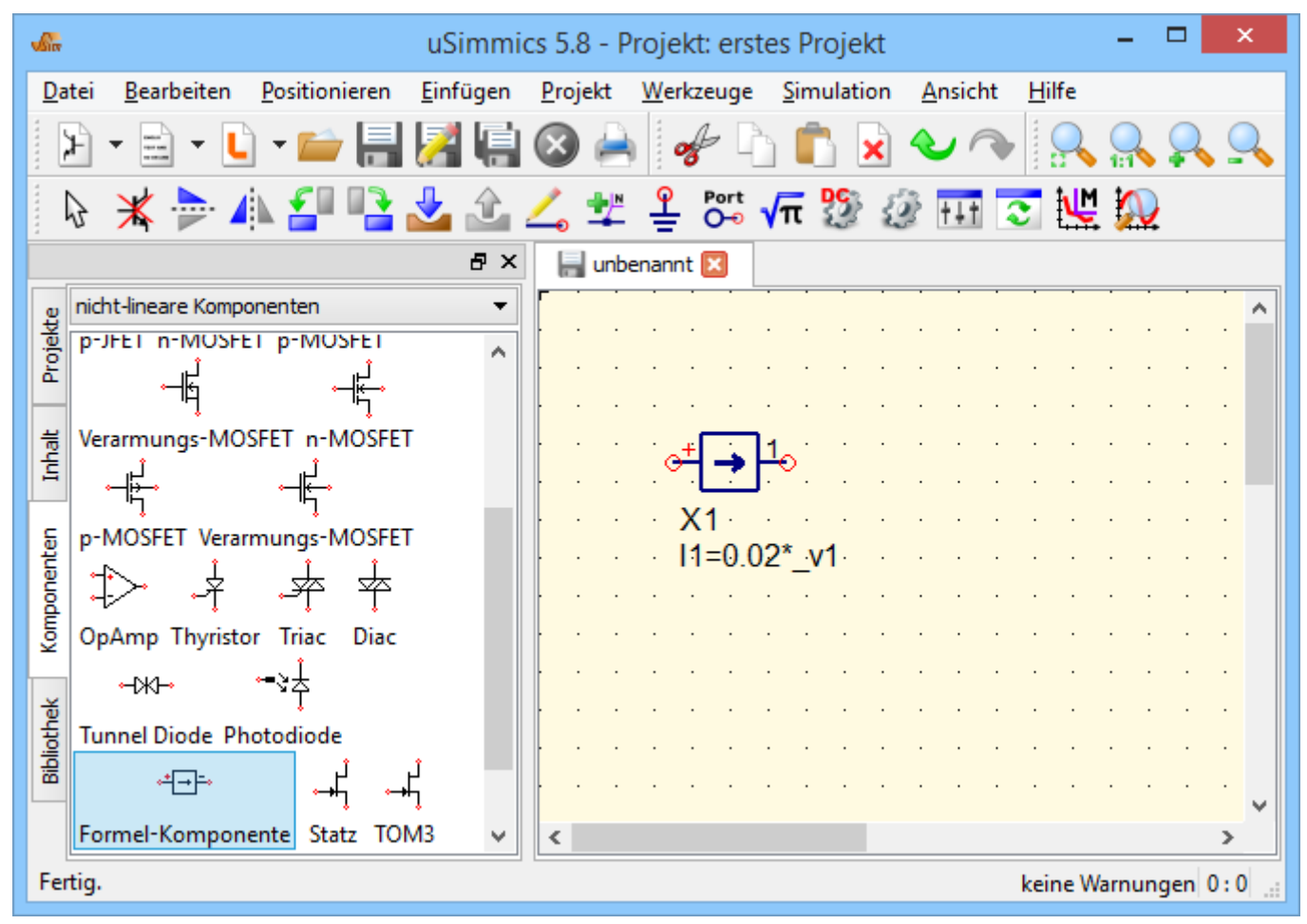


Bild 1 - Erzeugen eines Benutzermodells

Die Formel-Komponente kann aus mehreren Anschlußpaaren bestehen. Für jedes kann eine Strom-Gleichung eingetragen werden, welche die Abhängigkeit zu den Port-Spannungen festlegt. Bild 1 zeigt ein sehr einfaches Beispiel. Die Komponente dort besitzt ein Anschlußpaar, dessen Strom I1 der Port-Spannung v1 dividiert durch 50 gleicht. Offensichtlich handelt es sich hier um einen 50 Ohm Widerstand. Auf die gleiche Art und Weise kann für jedes Anschlußpaar eine Ladung Q1 definiert werden, um eine nicht-lineare Kapazität zu modellieren.

Für komplexere Modelle ist die oben beschriebene Methode nicht geeignet. Daher bietet der Simulator die Verwendung von VerilogA an. Hierbei handelt es sich um eine speziell zum Erstellen eines Komponenten-Modells entworfenen Programmiersprache. Unter den Vorlagen (Menü *Datei→Vorlagen* oder in der Werkzeugleiste) befindet sich das Programm-Gerüstes *template.va*, welches einem schnellen Einstieg dienen soll.

Mit der F2-Taste wird das fertige VerilogA-Programm *name.va* zunächst auf Fehler untersucht, anschließend in das C++ Programm *name.va.cpp* konvertiert, und schließlich zu der dynamischen Binärdatei *name.dll* compiliert.

Das VerilogA-Modell kann jederzeit in einer gewöhnlichen Schaltung verwendet werden. Dazu markiert man die VerilogA-Datei in der Inhaltsliste mit der Maus. Sobald die Maus zurück in die Schaltung bewegt wird, kann man die Komponente dort plazieren (linke Maustaste).

VerilogA-Programme besitzen immernoch einige Beschränkungen. Daher ist es ebenso möglich, Schaltungsmodelle in C++ zu schreiben. Auch dazu existiert eine Beispiel-Musterdatei bei den Vorlagen (Menü Datei→Vorlagen). Die Vorgehensweise ist der bei VerilogA-Modellen sehr ähnlich. Zusätzlich ist es in C++ Dateien möglich, Schaltungssymbole und Komponenten-Bilder zu integrieren. Für ersteres zeichnet man das Symbol für einen Unterschaltkreis und wählt dann Bearbeiten→Kopiere C++ Symbol. Anschließend kann es in die C++ Datei eingefügt werden. (Eine Auswahl häufiger Symbolzeichnungen kann man in Datei→Vorlagen→symbols.sch einsehen und kopieren.) Ein Komponenten-Bild ist nur nötig, falls die Komponente später in eine binäre Komponentenbibliothek integriert werden soll. Dazu zeichnet man das Bild mit einem Programm seiner Wahl und speichert es im PNG-Format. Anschließend wird es mit Einfügen→Füge Datei als C++ Feld ein... in den C++ Quellcode eingefügt. Eine binäre Bibliothek aus Komponenten-Modellen in C++ wird mit Projekt→Erzeuge Binärbibliothek... erzeugt. Mit Projekt→Verwalte Benutzerbibliotheken... kann sie wieder gelöscht werden.

zurück nach oben

## s-parameter simulation

scattering parameter (linear steady-state simulation in frequency domain)



Name	Default Value	Description	
Туре	lin	[lin, log, list]	
Start	1 GHz		
Stop	10 GHz		
Points	19		
Noise	no	calculate noise parameters [yes, no]	
NoiseIP	1	input port for noise figure	
NoiseOP	2	output port for noise figure	
output	none	additional results in dataset: DC values or bias currents? [none, dc, bias]	

### C++ Modell API

Die folgenden API-Funktionen stehen in C++ Komponent zur Verfügung, um Elemente in die Schaltungsmatrix (MNA-Matrix) einzutragen:

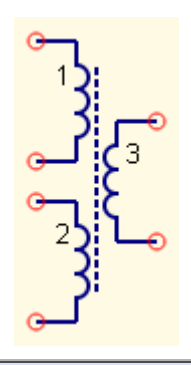
```
setA(Node1, Node2, num);
  → setzt ein einzelnes lineares Matrizen-Element
setG(Node1, Node2, conductance);
  → setzt einen linearen Leitwert
setR(Node1, Node2, resistance);
  → setzt einen linearen Widerstand
setC(Node1, Node2, capacitance, initial voltage);
  → setzt eine lineare Kapazität ("initial voltage" ist optionaler Zeiger)
setL(Node1, Node2, internal Node, inductance, initial current);
  → setzt eine lineare Induktivität ("initial current" ist optionaler Zeiger)
setM(Node1, Node2, mutual inductance);
  → setzt eine lineare Koppel-Induktivität
setI(Node1, Node2, current);
  → setzt linearen Strom
setDelayedI(Node1, Node2, line constant, delay, buffer pointer);
  → setzt linearen zeit-verzögerten Strom
setIQ(Node1, Node2, current, charge);
  → setzt nicht-linearen Strom und (optional) Ladung
setGC(Node1, Node2, Node3, Node4, current derivative, charge derivative);
  → setzt nicht-linearen Leitwert und (optional) Kapazität
setNoiseA(Node1, Node2, noise current density);
  → setzt ein einzelnes lineares Rauschelement
setNoiseG(Node1, Node2, noise current density);
  → setzt linearen Rauschstrom
setNoiseNG(Node1, Node2, noise current density);
  → setzt nicht-linearen Rauschstrom
getSimInfo(numTimeSamples, timeStep);
  → nur bei Transienten-Analyse: Anzahl der Simulationspunkte und Zeitschritte
erhalten
```

### zurück nach oben

## 3 Mutual Inductors

three inductors that are coupled magnetically

Symbol:



Name	Default Value	Description	
L1	1 mH	inductance of coil 1	Circuit Model:
L2	1 mH	inductance of coil 2	v1 = L1 · di1/dt + k12·
L3	1 mH	inductance of coil 3	$k13 \cdot \sqrt{L1} \cdot \sqrt{L3 \cdot di3/dt} +$ $R1 \cdot i1' = j \cdot 2\pi \cdot f \cdot (L1 \cdot i1 +$
k12	0.9	coupling factor between coil 1 and 2	k12: I1: I2:i2 +
k13	0.9	coupling factor between coil 1 and 3	$k13 \cdot \sqrt{L1} \cdot \sqrt{L3 \cdot i3} + R1 \cdot i1$ $v2 = L2 \cdot di2/dt +$
k23	0.9	coupling factor between coil 2 and 3	k12· L1· L2·di1/dt +
R1	0	series resistance of coil 1	$k23 \cdot \sqrt{L2} \cdot \sqrt{L3} \cdot di3/dt +$ $R2 \cdot i2 = j \cdot 2\pi \cdot f \cdot (L2 \cdot i2 +$
R2	0	series resistance of coil 2	k12· L1· L2·i1 + k23· L2· L3·i3) + R2·i2
R3	0	series resistance of coil 3	$v3 = L3 \cdot di3/dt +$
$k13 \cdot L1 \cdot L3 \cdot di1/dt + k23 \cdot L2 \cdot L3 \cdot di2/dt + R3 \cdot i3 = j \cdot 2\pi \cdot f \cdot (L3 \cdot i3 + k13 \cdot L1 \cdot L3 \cdot i1 + k23 \cdot L2 \cdot L3 \cdot i2) + R3 \cdot i3$			

#### **Noise Model:**

R1, R2 and R3 create thermal noise at a temperature of 290K.

### **System Simulation:**

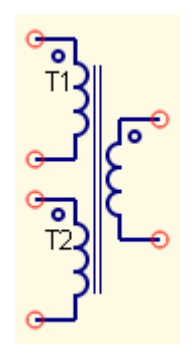
not supported

### **Digital Simulation:**

# 3 windings Transformer

ideal three windings transformer

Symbol:



Name   D	Default Value	Description	
T1	1	voltage transformation ratio of coil 1	Notes:
T2	1	voltage transformation ratio of coil 2	Keeps the ratios between the voltages across the

coils constant to factor T1 and T2, respectively.

• DC voltages are transformed, too!

#### **Circuit Model:**

$$u_1 = T \cdot u_2$$

$$i_2 = T \cdot i_1$$

$$Z_1 = T^2 \cdot Z_2$$

#### **Noise Model:**

noise free

### **System Simulation:**

not supported

### **Digital Simulation:**

## **4-Port Line**

### ideal 4-terminal transmission line



Name	Default Value	Description	
Z	50 Ω	characteristic impedance	
L	1 mm	length of the line	
A	0 dB	attenuation factor per length in 1/m	
Temp	26.85	device temperature in degree Celsius (for noise calculation only)	
a1		for transient simulation: inital wave at port 1 (=v1 + ZL*i1)	
a2		for transient simulation: inital wave at port 2 (=v2 + ZL*i2)	

## **AC Current Source**

#### **AC Current Source**



Name	Default Value	Description	
I	1 mA	peak current	
freq	1 GHz	frequency (transient and HB simulation only)	
phase	0	initial phase in degrees	
theta	0	damping factor (transient simulation only)	
Package	con_2	for PCB layout only: footprint [con_2, smd_jumper]	

## **AC Power Source**

#### **AC Power Source**



Name	Default Value	Description	
Num	1	number of the port, i.e. index for s-parameters	
Z	50 Ω	port impedance	
P	0 dBm	available AC power	
freq	1 GHz	frequency	
Temp	26.85	temperature in degree Celsius	
Package	con_2	for PCB layout only: footprint [con_2, smd_jumper]	

# **AC Voltage Source**

### AC Voltage Source



Name	Default Value	Description	
V	1 V	peak voltage	
freq	1 GHz	frequency (transient and HB simulation only)	
Phase	0	initial phase in degrees	
Theta	0	damping factor (transient simulation only)	
Package	con_2	for PCB layout only: footprint [con_2, smd_jumper]	

## **Amplifier**

### ideal amplifier

Symbol:



Name	Default Value	Description	
G	10 dB	power gam	Circuit Model:
Z1	50 Ohm	reference impedance of input port	voltage gain = G when input & output is matched;
Z2	50 Ohm	reference impedance of output port	no backward transmission
NF	0 dB		Noise Model:
			output noise according to

noise figure NF

### **System Simulation:**

ideal amplifier with noise figure according to ASE noise (EDFA) at 1550nm The parameters Z1 and Z2 are ignored.

### Digital Simulation:

## **Attenuator**

#### ideal attenuator

Symbol:



Name	Default Value	Description	
L	10 dB	power attenuation	
Zref	50 Ohm	reference impedance	
Temp	26.85	device temperature in degree Celsius (for noise calculation only)	

#### **Circuit Model:**

bi-directional voltage loss =  $\sqrt{L}$  when input & output is matched to Zref

#### **Noise Model:**

thermal noise with specified temperature

#### **System Simulation:**

ideal attenuator without noise
The parameters *Zref* and *Temp* are ignored.

#### **Digital Simulation:**

## Bias T

The bias T is a combination of a DC block and a DC feed.

Symbol:



Name	Default Value	Description	
L	1 μΗ	101 transient sinitulation. Inductance	Circuit Model:
С	1 μF	for transient simulation: capacitance	for DC: lower and right terminal are shorted, the
			left terminal is floating

for AC: left and right terminal are shorted, the lower terminal is floating

#### **Noise Model:**

noise free

#### **System Simulation:**

not supported

### **Digital Simulation:**

## **Bit Error Rate**

bit error rate measurement





## **Bit Generator**

### bit generator



Name	Default Value	Description	
samples	0	number of bits to generate (0=take number of simulation component)	
type	PRBS_8bit	pulse sequence [constant, dirac, alternating, PRBS_8bit, PRBS_10bit, PRBS_12bit, PRBS_14bit, PRBS_16bit, PRBS_20bit, PRBS_24bit, PRBS_32bit]	

## **Bond Wire**

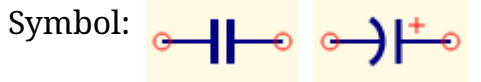
### bond wire



Name	Default Value	Description	
L	1 mm	length of the wire	
D	50 μm	diameter of the wire	
rho	0.022e-6	specific resistance of the metal	
mur	1	relative permeability of the metal	
Temp	26.85	device temperature in degree Celsius (for noise calculation only)	

## **Capacitor**

ideal, lumped capacitor



Name	Default Value	Description	
С	1 pF	capacitance	
G	0	parallel conductance	
V		initial voltage for transient simulation	
Symbol	neutral	schematic symbol [neutral, polar]	
Package	SMD0603	for PCB layout only: footprint [SMD0201, SMD0402, SMD0603, SMD0805, SM1206, cap_5.08, cap_pol2D5]	

#### Notes:

- If the initial voltage for transient simulation (parameter V) is empty (default), the voltage from the DC analysis (if initialDC=yes) or 0.0 V (if initialDC=no) is used.
- A temperature dependency can be entered as an equation, e.g. C=1nF\*(1+12e-6\*(Temp-25)) for a capacitance with 1 nF at 25°C and a temperature coefficient of 12 ppm/°C.
- Non-ideal capacitors can be found in the library *diverse*. The components *RFcap* and capLoss have RF parasitics. The first one also has a temperature coefficient.

#### **Circuit Model:**

 $i = C \cdot du/dt + G \cdot u = C \cdot j \cdot 2\pi \cdot f \cdot u + G \cdot u$ 

#### **Noise Model:**

noise free

#### **System Simulation:**

not supported

#### **Digital Simulation:**

## Circulator

#### ideal circulator

Symbol:



Name	Default Value	Description
Z1	50 Ohm	reference impedance of port 1
Z2	50 Ohm	reference impedance of port 2
Z3	50 Ohm	reference impedance of port 3

Circuit Model:

transmission from port 1 to 2, from port 2 to 3 and from port 3 to 1; no transmission in other directions

#### **Noise Model:**

noise free

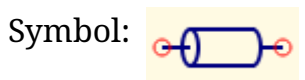
### **System Simulation:**

not supported

### **Digital Simulation:**

## **Coaxial Line**

### coaxial transmission line



Name	Default Value	Description
er	2.29	relative permittivity of dielectric
rho	0.022e-6	specific resistance of conductor
mur	1	relative permeability of conductor
D	2.95 mm	inner diameter of shield
d	0.9 mm	diameter of inner conductor
L	1500 mm	mechanical length of the line
tand	4e-4	loss tangent
Temp	26.85	device temperature in degree Celsius (for noise calculation only)

## Coder

DQPSK encoder



# **Compiled Model**

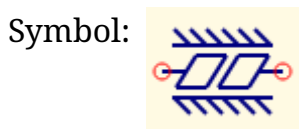
user model (compiled from C++ or VerilogA source file)



Name	Default Value	Description
File	test.va	name of source file

# Coplanar Gap

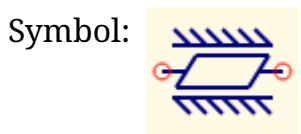
coplanar gap



Name	Default Value	Description
Subst	Subst1	name of substrate definition
W	1 mm	width of the line
S	1 mm	width of a gap
G	0.5 mm	width of gap between the two lines

# **Coplanar Line**

coplanar line



Name	Default Value	Description
Subst	Subst1	name of substrate definition
W	1 mm	width of the line
S	1 mm	width of a gap
L	10 mm	length of the line
Temp	26.85	device temperature in degree Celsius (for noise calculation only)

# Coplanar Open

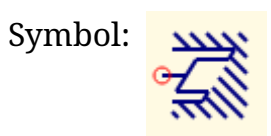
coplanar open



Name	Default Value	Description
Subst	Subst1	name of substrate definition
W	1 mm	width of the line
S	1 mm	width of a gap
G	5 mm	width of gap at end of line

# **Coplanar Short**

coplanar short



Name	Default Value	Description
Subst	Subst1	name of substrate definition
W	1 mm	width of the line
S	1 mm	width of a gap

# Coplanar Step

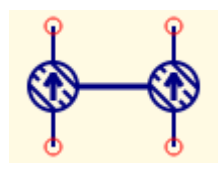
coplanar impedance step



Name	Default Value	Description
Subst	Subst1	name of substrate definition
W1	1 mm	width of line 1
W2	2 mm	width of line 2
D	3 mm	distance between the two ground planes

## **Correlated Noise Currents**

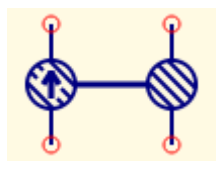
correlated noise current sources



Name	Default Value	Description	
i1	1e-6	current density of source 1 in A/sqrt(Hz)	
i2	1e-6	current density of source 2 in A/sqrt(Hz)	
С	0.5	normalized correlation coefficient	
е	0	frequency exponent	
С	1	frequency coefficient	
a	0	additive frequency term	
tr_sim	no	create noise during transient simulation [yes, no]	

## **Correlated Noise Sources**

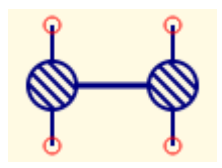
#### correlated noise sources



Name	Default Value	Description	
i1	1e-6	current density of source 1 in A/sqrt(Hz)	
v2	1e-6	voltage density of source 2 in V/sqrt(Hz)	
С	0.5	normalized correlation coefficient	
е	0	frequency exponent	
С	1	frequency coefficient	
a	0	additive frequency term	
tr_sim	no	create noise during transient simulation [yes, no]	

# **Correlated Noise Voltages**

correlated noise voltage sources



Name	Default Value	Description	
v1	1e-6	voltage density of source 1 in V/sqrt(Hz)	
v2	1e-6	voltage density of source 2 in V/sqrt(Hz)	
С	0.5	normalized correlation coefficient	
e	0	frequency exponent	
С	1	frequency coefficient	
a	0	additive frequency term	
tr_sim	no	create noise during transient simulation [yes, no]	

# **Coupled Microstrip Line**

coupled microstrip line



Name	Default Value	Description
Subst	Subst1	name of substrate definition
W	1 mm	width of the line
L	10 mm	length of the line
S	1 mm	spacing between the lines
Temp	26.85	device temperature in degree Celsius (for noise calculation only)

# **Coupled Stripline**

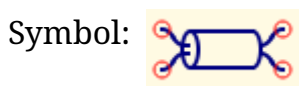
edge-coupled striplines (centered)



Name	Default Value	Description
Subst	Subst1	name of substrate definition
W	1 mm	width of the line
L	10 mm	length of the line
S	1 mm	spacing between the lines
Temp	26.85	device temperature in degree Celsius (for noise calculation only)

# **Coupled Transmission Line**

coupled transmission lines



Name	Default Value	Description
Ze	50 Ω	characteristic impedance of even mode
Zo	50 Ω	characteristic impedance of odd mode
L	1 mm	physical length of the line
Ere	1	relative dielectric constant of even mode
Ero	1	relative dielectric constant of odd mode
Ae	0 dB	attenuation factor per length of even mode
Ao	0 dB	attenuation factor per length of odd mode
Temp	26.85	device temperature in degree Celsius (for noise calculation only)

### Coupler

ideal coupler (or hybrid)

Symbol:



Name	Default Value	Description	
k	0.5	power coupling factor	Circuit Model:
phi	90	phase shift of coupling path in degree	If terminated with reference impedance
Z	50 Ohm	reference impedance	The port on the same side is decoupled,

the input power splits according to the coupling factor to the ports on the other side, i.e. power out of the straight port =  $(1-k)\cdot P_{in}$  and power out of the cross port =  $k\cdot P_{in}$  with the specified phase shift.

#### **Noise Model:**

noise free

#### **System Simulation:**

The left ports are inputs, the right ones are outputs. Coupling like in circuit model, but the parameter Z is ignored.

#### **Digital Simulation:**

not supported

### **Current Controlled Current Source**

current controlled current source



Name	Default Value	Description
G	1	forward transfer factor
Т	0	delay time

# **Current Controlled Voltage Source**

current controlled voltage source



Name	Default Value	Description
G	1 Ω	forward transfer factor
Т	0	delay time

### **Current Probe**

This component measures the current flowing through it and writes the result into the dataset.





Name D	Default Value	Description	
Package	con_2	for <a href="PCB layout">PCB layout</a> only: footprint [con_2, smd_jumper]	Circuit Model:

short circuit

**Noise Model:** 

noise free

**System Simulation:** 

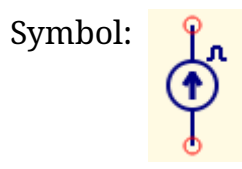
not supported

**Digital Simulation:** 

not supported

## **Current Pulse**

current pulse source



Name	Default Value	Description
I1	0	current before and after the pulse
I2	1 A	current of the pulse
T1	0	start time of the pulse
T2	1 ms	ending time of the pulse
Tr	1 ns rise time of the leading edge	
Tf	1 ns	fall time of the trailing edge

### **DC Block**

The ideal DC Block is an open circuit for DC and a short circuit for frequencies larger than zero.

Symbol:



Name	Default Value	Description	
С	1 μF	for transient simulation: capacitance	Circuit Model:
		<u> </u>	for DC: open circuit

for AC: short circuit

#### **Noise Model:**

noise free

#### **System Simulation:**

removes the DC from the signal, i.e. substractes the average value

### **Digital Simulation:**

not supported

## **DC Current Source**

#### DC Current Source



Name	Default Value	Description
I	1 mA	current
Package	con_2	for PCB layout only: footprint [con_2, smd_jumper]

### **DC Feed**

The ideal DC feed is a short circuit for DC and an open circuit for frequencies larger than zero.

Symbol:



		_	1
L 1	1 μΗ	for transient simulation: inductance	Circuit Model: for DC: short circuit

for AC: open circuit

**Noise Model:** 

noise free

**System Simulation:** 

not supported

Digital Simulation:

not supported

# **DC** simulation

non-linear DC simulation



Name	Default Value	Description
reltol	0.001	relative tolerance for convergence
abstol	1 nA	absolute tolerance for convergence
MaxIter	500	maximum number of iterations before error
output	none	additional results in dataset: bias currents or power? [none, bias, power]

# **DC Voltage Source**

### DC Voltage Source



Name	Default Value	Description
V	1 V	voltage
Symbol	battery	schematic symbol [battery, general]
Package	con_2	for PCB layout only: footprint [con_2, smd_jumper]

# **Delay**

### time delay

Symbol:



Name	Default Value	Description	
delay	1	duration of the delay in sec	
	<u> </u>		voltage-controlled voltage source

with time delay and unity gain,

i.e. input impedance is infinite and output impedance is zero.

#### **Noise Model:**

noise free

### **System Simulation:**

time delay

### Digital Simulation:

time delay

# depletion MOSFET

MOSFET with substrate (Schichman Hodges model)



Name	Default Value	Description	
Туре	nfet	polarity [nfet, pfet]	
Vt0	-1.0 V	zero-bias threshold voltage	
Кр	2e-5	transconductance coefficient in A/V^2	
Gamma	0.0	bulk threshold in sqrt(V)	
Phi	0.6 V	surface potential	
Lambda	0.0	channel-length modulation parameter in 1/V	
Rd	0	drain ohmic resistance	
Rs	0	source ohmic resistance	
Rg	0	gate ohmic resistance	
Is	1e-14 A	bulk junction saturation current	
N	1.0	bulk junction emission coefficient	
W	1 μm	channel width	
L	1 μm	channel length	
Ld	0.0	lateral diffusion length	
Tox	0.1 μm	oxide thickness	
Cgso	0.0	gate-source overlap capacitance per meter of channel width in F/m	
Cgdo	0.0	gate-drain overlap capacitance per meter of channel width in F/m	
Cgbo	0.0	gate-bulk overlap capacitance per meter of channel length in F/m	
Cbd	0.0	zero-bias bulk-drain junction capacitance	

Cho	0.0	zoro bigo bulk course junction conscitones
Cbs	0.0	zero-bias bulk-source junction capacitance
Pb	0.8 V	bulk junction potential
Mj	0.5	bulk junction bottom grading coefficient
Fc	0.5	bulk junction forward-bias depletion capacitance coefficient
Cjsw	0.0	zero-bias bulk junction periphery capacitance per meter of junction perimeter in F/m
Mjsw	0.33	bulk junction periphery grading coefficient
Tt	0.0 ps	bulk transit time
Cj	0.0	zero-bias bulk junction bottom capacitance per square meter of junction area in F/m^2
Ad	0.0	drain diffusion area in m^2
As	0.0	source diffusion area in m^2
Pd	0.0	drain junction perimeter
Ps	0.0	source junction perimeter
Kf	0.0	flicker noise coefficient
Af	1.0	flicker noise exponent
Ffe	1.0	flicker noise frequency exponent
Temp	26.85	device temperature in degree Celsius
Tnom	26.85	temperature at which parameters were extracted
Eg	1.11	energy bandgap in eV
EgTA	7.02e-4	energy bandgap temperature coefficient alpha
EgTB	1108.0	energy bandgap temperature coefficient beta

# **D-FlipFlop**

D flip flop with asynchron reset



Name	Default Value	Description
t	0	delay time

# Diac

diac (bidirectional trigger diode)



Name	Default Value	Description
Vbo	30 V	(bidirectional) breakover voltage
Ibo	50 μΑ	(bidirectional) breakover current
Ср	0	parasitic capacitance
Is	1e-10 A	saturation current
N	2	emission coefficient
Ri	10 Ohm	intrinsic junction resistance
Ts	1e-6	duration of switching on/off in sec
Temp	26.85	device temperature in degree Celsius (for noise calculation only)

# digital simulation

digital simulation



Name	Default Value	Description
Туре	TruthTable	type of simulation [TruthTable, TimeList]
time	10 ns	duration of TimeList simulation
Model	Verilog	model language [Verilog, VHDL]

# **Digital Source**

### Digital Source



Name	Default Value	Description
Num	1	number of the port for creating a truth table
init	low	initial output value [low, high]
times	1ns; 1ns	list of times for changing output value
V	1 V	voltage of high level

# Diode

### diode

Name	Default Value	Description
Is	1e-15 A	saturation current
N	1	emission coefficient
Cj0	10 fF	zero-bias junction capacitance
M	0.5	grading coefficient
Vj	0.7 V	junction potential
Fc	0.5	forward-bias depletion capacitance coefficient
Ср	0.0 fF	linear capacitance
Isr	0.0	recombination current parameter
Nr	2.0	emission coefficient for Isr
Rs	0	ohmic series resistance
Tt	0.0 ps	transit time
Ikf	0	high-injection knee current (0=infinity)
Kf	0.0	flicker noise coefficient
Af	1.0	flicker noise exponent
Ffe	1.0	flicker noise frequency exponent
Bv	0	reverse breakdown voltage (0 = no breakdown)
Ibv	1 mA	current at reverse breakdown voltage
Temp	26.85	device temperature in degree Celsius
Xti	3.0	saturation current temperature exponent
Eg	1.11	energy bandgap in eV
Tbv	0.0	Bv linear temperature coefficient
Trs	0.0	Rs linear temperature coefficient

Ttt1	0.0	Tt linear temperature coefficient
Ttt2	0.0	Tt quadratic temperature coefficient
Tm1	0.0	M linear temperature coefficient
Tm2	0.0	M quadratic temperature coefficient
Tnom	26.85	temperature at which parameters were extracted
Area	1.0	default area for diode
EgTA	7.02e-4	energy bandgap temperature coefficient alpha
EgTB	1108.0	energy bandgap temperature coefficient beta
Symbol	normal	schematic symbol [normal, Schottky, Zener, varactor]
Package	1N4148	for PCB layout only: footprint [1N4148, 1N4007, SOD123, LED_5mm, LED_3mm]

## **DLI**

### delay-line interferometer



Name	Default Value	Description
FSR	1	free spectral range in Hz
ER	30 dB	extinction ratio (0=infinity)
phase	0	phase for interference
IL	1	power insertion loss

# **Equation Component**

equation defined component



Name	Default Value	Description
ports	1	number of ports
I1	0.02*_v1	current equation of port 1
Q1	0	current equation of port 1

# equation defined

equation defined system component



Name	Default Value	Description
in	2	number of input ports (08)
eqn	_in1 + _in2 + sin(2*pi*2GHz*_time)	equation to calculate output signal
samples	0	only if no input port: number of bits to generate (0=take number of simulation component)

### Variables and Equations

variable declarations and equation definitions

Symbol: 🗟

Name	Default Value	Description	
у		variable delimition	<b>Notes:</b> Variables are
Export	yes	put result into dataset [yes, no, GUIonly]	declared by entering

a name (left-hand

side) and giving it a value or an equation (right-hand side). Then, they can be used in component parameters or diagrams.

The last parameter *Export* in the component is not a variable, but controls its behaviour:

- yes The variable is written into the dataset file after the simulation has finished.
- no The variable is not written into the dataset file.
- **GUIonly** The variable can not be used during simulation, but for diagrams. The variable name is parsed for Greek letters and subscripts, e.g. gamma\_0 appears as  $\gamma_0$  in the schematic.

# **Fiber**

glass fiber for optical communication



Name	Default Value	Description
a	0.1 dB	power attenuation
t	32	group delay
D	1	dispersion in sec/meter

## **File Based Current**

file based current source (time or frequency dependent)



Name	Default Value	Description
File	file.csv	name of the data file (*.CSV or *.DAT)
Var	out.Vt	variable name in dataset (for *.DAT only)
interpol	linear	interpolation type [hold, linear, cubic]
repeat	no	repeat waveform [no, yes]
G	1	current gain
Т	0	delay time or frequency shift

# File Based Voltage

file based voltage source (time or frequency dependent)



Name	Default Value	Description
File	file.csv	name of the data file (*.CSV or *.DAT)
Var	out.Vt	variable name in dataset (for *.DAT only)
interpol	linear	interpolation type [hold, linear, cubic]
repeat	no	repeat waveform [no, yes]
G	1	voltage gain
Т	0	delay time or frequency shift

## File Data

make content of data files accessible to simulations



Name	Default Value	Description
File	data.mdf	file name (MDIF format)
mode	interpolate	behaviour for not existing values [error, nearest, interpolate]

# **Filter**

### filter



Name	Default Value	Description
f0	1 GHz	-3dB cut-off (low- & highpass) or band middle frequency (bandpass & bandstop)
Order	3	filter order
Class	lowpass	filter class [lowpass, highpass, bandpass, bandstop]
Туре	butterworth	filter type [bessel, butterworth]
Zref	50 Ohm	reference impedance
В	0.1 GHz	bandwidth for bandpass and bandstop

# **Frequency Domain**

equation defined component in frequency domain

Symbol:



Name	Default Value	Description
Туре	Y	type of parameters [Y, Z, S, H, G, A, T, VCVS]
Ports	2	number of ports
duringDC	open	representation during DC and transient analysis [open, short, zerofreq, response]
Y11	1e-9*S	parameter equation 11
Y12	2*pi*freq	parameter equation 12
Y21	0	parameter equation 21
Y22	0	parameter equation 22

#### **Notes:**

The parameter *duringDC* determines the behaviour of this component for DC and transient analysis.

- open omit the component
- short connect all signal pins together
- zerofreq use the s-parameter model at frequency 0 Hz
- response for DC analysis equal to zerofreq, for transient analysis use the impulse response (transform s-parameters into time domain)

# **Frequency Shift**

frequency shifter



Name	Default Value	Description
shift	1	frequency shift in Hz

# **Function**

### functional block



Name	Default Value	Description
Func	magnitude	function performed by the component [magnitude, norm, square, root, max_hold, to_bipolar, real, clip, clip_negative]

## Ground

ground (reference potential)

Symbol:



#### **Notes:**

This component needs to be present in all analog circuit simulations!

#### **Circuit Model:**

It gives a voltage of zero and the voltages at all nodes are referenced to it.

#### **Noise Model:**

noise free

#### **System Simulation:**

gives constant zero

### **Digital Simulation:**

gives logical zero

# **Gyrator**

### gyrator (impedance inverter)

Symbol:



Name	Default Value	Description	
G	1	gyrator ratio in Siemens	
			$I_{in} = G \cdot U_{out}$

$$I_{out} = -G \cdot U_{in}$$

### **Noise Model:**

noise free

### **System Simulation:**

not supported

### **Digital Simulation:**

not supported

## harmonic balance

non-linear steady-state simulation in frequency domain

Symbol:

Harmonic balance simulation

Name	Default Value	Description
n	8@;	
Noise	no	calculate noise voltages [no, yes, sideband]
carrier	1 GHz	carrier frequency for sideband noise calculation
Type	lin	[lin, log, list]
Start	1 kHz	
Stop	10 kHz	
Points	10	
reltol	0.001	relative tolerance for convergence
abstol	0.1 μΑ	absolute tolerance for convergence
MaxIter	500	maximum number of iterations before error

## **HICUM LO**

HICUM level 0, version 1.32



Name	Default Value	Description
is	1e-16	(Modified) saturation current
it_mod	off	Flag for using third order solution for transfer current[on, off]
mcf	1	Non-ideality coefficient of forward collector current
mcr	1	Non-ideality coefficient of reverse collector current
vef	1e6	forward Early voltage (normalization voltage)
ver	1e6	reverse Early voltage (normalization voltage)
aver	0.0	bias dependence for reverse Early voltage
iqf	1e6	forward DC high-injection roll-off current
fiqf	off	flag for turning on base related critical current[on, off]
iqr	1e6	inverse DC high-injection roll-off current
iqfh	1e6	high-injection correction current
tfh	0	high-injection correction factor
ahq	0	Smoothing factor for the DC injection width
ibes	1e-18	Internal B-E saturation current
mbe	1	Internal B-E current ideality factor
ires	0	Internal B-E recombination saturation current
mre	2	Internal B-E recombination current ideality factor
ibcs	0	Internal B-C saturation current
mbc	1	Internal B-C current ideality factor
cje0	1e-20	Internal B-E zero-bias depletion capacitance

vde	0.9	Internal B-E built-in potential
ze	0.5	Internal B-E grading coefficient
aje	2.5	Ratio of maximum to zero-bias value of internal B-E capacitance
vdedc	0.9	B-E charge built-in voltage for DC transfer current
zedc	0.5	charge B-E exponent factor for DC transfer current
ajedc	2.5	B-E capacitance ratio, maximum to zero-bias value for DC transfer current
t0	0	Low current forward transit time at VBC=0V
dt0h	0	Time constant for base and B-C space charge layer width modulation
tbvl	0	Time constant for modelling carrier jam at low VCE
tef0	0	Neutral emitter storage time
gte	1	Exponent factor for current dependence of neutral emitter storage time
thcs	0	Saturation time constant at high current densities
ahc	0.1	Smoothing factor for current dependence of base and collector transit time
tr	0	Storage time for inverse operation
rci0	150	Internal collector resistance at low electric field
vlim	0.5	Voltage separating ohmic and saturation velocity regime
vpt	100	Collector punch-through voltage
vces	0.1	Internal C-E saturation voltage
cjci0	1e-20	Internal B-C zero-bias depletion capacitance
vdci	0.7	Internal B-C built-in potential
zci	0.333	Internal B-C grading coefficient
vptci	100	Internal B-C punch-through voltage
cjcx0	1e-20	External B-C zero-bias depletion capacitance
vdcx	0.7	External B-C built-in potential
ZCX	0.333	External B-C grading coefficient

vptcx	100	External B-C punch-through voltage
fbc	1	Split factor = Cjci0/Cjc0
rbi0	0	Zero bias internal base resistance
vr0e	2.5	forward Early voltage (normalization voltage)
vr0c	1e6	forward Early voltage (normalization voltage)
fgeo	0.656	Factor for geometry dependence of emitter current crowding
rbx	0	External base series resistance
rcx	0	External collector series resistance
re	0	Emitter series resistance
itss	0	Substrate transistor transfer saturation current
msf	1	Forward ideality factor of substrate transfer current
iscs	0	C-S diode saturation current
msc	1	Ideality factor of C-S diode current
cjs0	1e-20	C-S zero-bias depletion capacitance
vds	0.3	C-S built-in potential
ZS	0.3	C-S grading coefficient
vpts	100	C-S punch-through voltage
cbcpar	0	Total parasitic B-C capacitance
cbepar	0	Total parasitic B-E capacitance
eavl	0	Exponent factor for avalanche current
kavl	0	Avalanche current factor
kf	0	Flicker noise coefficient
af	2	Flicker noise exponent factor
alqf	0.167	Factor for additional delay time of minority charge
alit	0.333	Factor for additional delay time of transfer current
flnqs	off	Vertical NQS effect[on, off]
vgb	1.2	Bandgap voltage extrapolated to 0 K
vge	1.17	Effective emitter bandgap voltage

vgc	1 17	77.00
	1.17	Effective collector bandgap voltage
vgs	1.17	Effective substrate bandgap voltage
f1vg	-1.02377e-4	Coefficient K1 in T-dependent band-gap equation
alt0	0	First order relative TC of parameter T0
kt0	0	Second order relative TC of parameter T0
zetact	3.0	Exponent coefficient in transfer current temperature dependence
zetabet	3.5	Exponent coefficient in B-E junction current temperature dependence
zetaci	0	Temperature exponent for RCI0
alvs	0	Relative TC of saturation drift velocity
alces	0	Relative TC of VCES
zetarbi	0	Temperature exponent of internal base resistance
zetarbx	0	Temperature exponent of external base resistance
zetarcx	0	Temperature exponent of external collector resistance
zetare	0	Temperature exponent of emitter resistance
zetaiqf	0	TC of iqf
alkav	0	TC of avalanche current factor
aleav	0	TC of avalanche exponential factor
zetarth	0	Temperature coefficient for Rth
tef_temp	on	Flag for turning temperature dependence of tef0 on and off[on, off]
zetaver	-1	TC of Reverse Early voltage
zetavgbe	1	TC of AVER
dvgbe	0	Bandgap difference between B and B-E junction used for hjEi0 and hf0 in volts
aliqfh	0	Frist-order TC of iqfh
kiqfh	0	Second-order TC of iqfh
flsh	off	self-heating effect[off, std, full]
rth	0	Thermal resistance

cth	0	Thermal capacitance
Tnom	27	temperature at which parameters were extracted
Temp	27	device temperature in degree Celsius
type	npn	polarity[npn, pnp]

## HICUM L2

HICUM level 2, version 2.33



Name	Default Value	Description
c10	2e-30	GICCR constant
qp0	2e-14	Zero-bias hole charge
ich	0	High-current correction for 2D and 3D effects
hf0	1	Weight factor for the low current minority charge
hfe	1	Emitter minority charge weighting factor in HBTs
hfc	1	Collector minority charge weighting factor in HBTs
hjei	1	B-E depletion charge weighting factor in HBTs
ahjei	0	Parameter describing the slope of hjEi(VBE)
rhjei	1	Smoothing parameter for hjEi(VBE) at high voltage
hjci	1	B-C depletion charge weighting factor in HBTs
ibeis	1e-18	Internal B-E saturation current
mbei	1	Internal B-E current ideality factor
ireis	0	Internal B-E recombination saturation current
mrei	2	Internal B-E recombination current ideality factor
ibeps	0	Peripheral B-E saturation current
mbep	1	Peripheral B-E current ideality factor
ireps	0	Peripheral B-E recombination saturation current
mrep	2	Peripheral B-E recombination current ideality factor
mcf	1	Non-ideality factor for III-V HBTs
tbhrec	0	Base current recombination time constant at B-C barrier for high forward injection

ibcis	1e-16	Internal B-C saturation current
mbci	1	Internal B-C current ideality factor
ibcxs	0	External B-C saturation current
mbcx	1	External B-C current ideality factor
ibets	0	B-E tunneling saturation current
abet	40	Exponent factor for tunneling current
tunode	PE	Base node connection for the tunneling current [IE, PE]
favl	0	Avalanche current factor
qavl	0	Exponent factor for avalanche current
alfav	0	TC of avalanche current factor
alqav	0	TC of avalanche exponential factor
rbi0	0	Zero bias internal base resistance
rbx	0	External base series resistance
fgeo	0.6557	Factor for geometry dependence of emitter current crowding
fdqr0	0	Correction factor for modulation by B-E and B-C space charge layer
fcrbi	0	Ratio of HF shunt to total internal capacitance (lateral NQS effect)
fqi	1	Ration of internal to total minority charge
re	0	Emitter series resistance
rcx	0	External collector series resistance
itss	0	Substrate transistor transfer saturation current
msf	1	Forward ideality factor of substrate transfer current
iscs	0	C-S diode saturation current
msc	1	Ideality factor of C-S diode current
tsf	0	Transit time for forward operation of substrate transistor
rsu	0	Substrate series resistance
csu	0	Substrate shunt capacitance
cjei0	1e-20	Internal B-E zero-bias depletion capacitance

0.9	Internal B-E built-in potential
0.5	Internal B-E grading coefficient
2.5	Ratio of maximum to zero-bias value of internal B-E capacitance
1e-20	Peripheral B-E zero-bias depletion capacitance
0.9	Peripheral B-E built-in potential
0.5	Peripheral B-E grading coefficient
2.5	Ratio of maximum to zero-bias value of peripheral B-E capacitance
1e-20	Internal B-C zero-bias depletion capacitance
0.7	Internal B-C built-in potential
0.4	Internal B-C grading coefficient
100	Internal B-C punch-through voltage
1e-20	External B-C zero-bias depletion capacitance
0.7	External B-C built-in potential
0.4	External B-C grading coefficient
100	External B-C punch-through voltage
0	Partitioning factor of parasitic B-C cap
1	Partitioning factor of parasitic B-E cap
0	C-S zero-bias depletion capacitance
0.6	C-S built-in potential
0.5	C-S grading coefficient
100	C-S punch-through voltage
0	Low current forward transit time at VBC=0V
0	Time constant for base and B-C space charge layer width modulation
0	Time constant for modelling carrier jam at low VCE
0	Neutral emitter storage time
1	Exponent factor for current dependence of neutral emitter storage time
	0.5 2.5 1e-20 0.9 0.5 2.5 1e-20 0.7 0.4 100 1e-20 0.7 0.4 100 0 1 0 0 0 0 0 0 0 0

thcs	0	Saturation time constant at high current densities
ahc	0.1	Smoothing factor for current dependence of base and collector transit time
fthc	0	Partitioning factor for base and collector portion
rci0	150	Internal collector resistance at low electric field
vlim	0.5	Voltage separating ohmic and saturation velocity regime
vces	0.1	Internal C-E saturation voltage
vpt	100	Collector punch-through voltage
tr	0	Storage time for inverse operation
vcbar	0	Barrier voltage
icbar	0	Normalization parameter in amps
acbar	0.01	Smoothing parameter for barrier voltage
delck	2	fitting factor for critical current
cbepar	0	Total parasitic B-E capacitance
cbcpar	0	Total parasitic B-C capacitance
alqf	0.167	Factor for additional delay time of minority charge
alit	0.333	Factor for additional delay time of transfer current
flnqs	no	Vertical NQS effect [yes, no]
kf	0	Flicker noise coefficient
af	2	Flicker noise exponent factor
cfbe	IB	Flicker noise source [IB, PB]
flcono	no	correlated noise implementation [yes, no]
kfre	0	Emitter resistance flicker noise coefficient
afre	2	Emitter resistance flicker noise exponent factor
latb	0	Scaling factor for collector minority charge in direction of emitter width
latl	0	Scaling factor for collector minority charge in direction of emitter length
vgb	1.17	Bandgap voltage extrapolated to 0 K

alt0	0	First order relative TC of parameter T0
kt0	0	Second order relative TC of parameter T0
zetaci	0	Temperature exponent for RCI0
alvs	0	Relative TC of saturation drift velocity
alces	0	Relative TC of VCES
zetarbi	0	Temperature exponent of internal base resistance
zetarbx	0	Temperature exponent of external base resistance
zetarcx	0	Temperature exponent of external collector resistance
zetare	0	Temperature exponent of emitter resistance
zetacx	1	Temperature exponent of mobility in substrate transistor transit time
vge	1.17	Effective emitter bandgap voltage
vgc	1.17	Effective collector bandgap voltage
vgs	1.17	Effective substrate bandgap voltage
f1vg	-1.02377e-4	Coefficient K1 in T-dependent band-gap equation
f2vg	4.3215e-4	Coefficient K2 in T-dependent band-gap equation
zetact	3.0	Exponent coefficient in transfer current temperature dependence
zetabet	3.5	Exponent coefficient in B-E junction current temperature dependence
alb	0	Relative TC of forward current gain for V2.1 model
dvgbe	0	Bandgap difference between B and B-E junction used for hjEi0 and hf0 in volts
zetahjei	1	Temperature coefficient for ahjEi
zetavgbe	1	Temperature coefficient for hjEi0
flsh	off	self-heating effect [off, std, full]
rth	0	Thermal resistance
zetarth	0	Temperature coefficient for Rth
alrth	0	First order relative TC of parameter Rth in 1/K
cth	0	Thermal capacitance

flcomp	2.1	Model version [2.1, 2.2, 2.3]
Tnom	27	temperature at which parameters were extracted
Temp	27	device temperature in degree Celsius
type	npn	polarity [npn, pnp]

# Hybrid

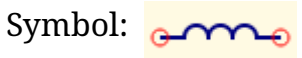
hybrid (unsymmetrical 3dB coupler)



Name	Default Value	Description
phi	180	phase shift in degree
Zref	50 Ohm	reference impedance

## **Inductor**

#### ideal, lumped inductor



Name	Default Value	Description
L	1 nH	inductance
R	0	series resistance
I		initial current for transient simulation
Package	inductor_1mH	for PCB layout only: footprint [inductor_1mH, inductor_220uH]

#### Notes:

- If the initial current for transient simulation (parameter I) is empty (default), the current from the DC analysis (if initialDC=yes) or 0.0 A (if initialDC=no) is used.
- Non-ideal inductors can be found in the library diverse. The components Qcoil, RFcoil and AirCoil have RF parasitics.

#### **Circuit Model:**

 $u = L \cdot di/dt + R \cdot i = L \cdot j \cdot 2\pi \cdot f \cdot i + R \cdot i$ 

#### **Noise Model:**

The series resistance R creates thermal noise at a temperature of 290K.

#### **System Simulation:**

not supported

#### **Digital Simulation:**

not supported

# **Interdigital Cap**

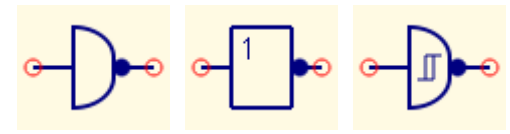
microstrip interdigital capacitor



Name	Default Value	Description
Subst	Subst1	name of substrate definition
N	4	number of fingers
W	0.4 mm	width of one finger
L	1 mm	length of one finger
G	0.4 mm	gap between two fingers

## **Inverter**

## logical inverter



Name	Default Value	Description
V	1 V	voltage of high level
t	0	delay time
Symbol	old	schematic symbol [old, DIN40900, ST]

## **Isolator**

ideal isolator (one-way line)

Symbol:



Name	Default Value	Description
Z1	50 Ohm	reference impedance of input port
Z2	50 Ohm	reference impedance of output port
Temp	26.85	device temperature in degree Celsius (for noise calculation only)

#### **Circuit Model:**

voltage gain = 1 when input & output is matched; no backward transmission

#### **Noise Model:**

thermal noise with specified temperature

### **System Simulation:**

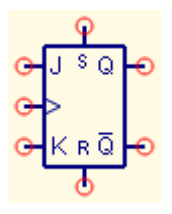
not supported

### **Digital Simulation:**

not supported

# JK-FlipFlop

JK flip flop with asynchron set and reset



Name	Default Value	Description
t	0	delay time

## Laser

### laser source



Name	Default Value	Description
Pout	1 mW	output power
width	0	3dB linewidth of output spectrum
ase	0	noise power density due to spontaneous emission in 1/Hz
df	0	frequency deviation

# logic state

fix logic state



Name	Default Value	Description
state	1	logic state [0, 1, X, Z]
V	1 V	voltage of high level

## Mach-Zehnder

### Mach-Zehnder modulator

Symbol: \_



Name	Default Value	Description
bias	0.5	DC bias voltage for modulation
Vpi	1	voltage for full modulation
ER	25 dB	extinction ratio (0=infinity)
chirp	0	additional chirp parameter
IL	1	power insertion loss
type	push-pull	modulator configuration [push-pull, push, single]

# **Microstrip Bend**

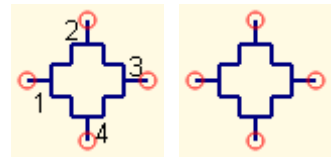
### microstrip bend



Name	Default Value	Description
Subst	Subst1	substrate
W	1 mm	width of line
theta	90	bend angle in degree (0° = straight line)

# **Microstrip Cross**

## microstrip cross



Name	Default Value	Description	
Subst	Subst1	substrate	
W1	1 mm	width of line 1	
W2	2 mm	width of line 2	
W3	1 mm	width of line 3	
W4	2 mm	width of line 4	
Symbol	showNumbers	show port numbers in symbol or not [showNumbers, noNumbers]	

# **Microstrip Gap**

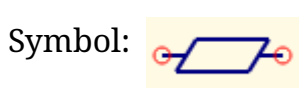
microstrip gap



Name	Default Value	Description	
Subst	Subst1	name of substrate definition	
W1	1 mm	width of the line 1	
W2	1 mm	width of the line 2	
S	1 mm	spacing between the microstrip ends	
Symbol	showNumbers	show port numbers in symbol or not [showNumbers, noNumbers]	

# **Microstrip Line**

### microstrip line



Name	Default Value	Description
Subst	Subst1	name of substrate definition
W	1 mm	width of the line
L	10 mm	length of the line
Temp	26.85	device temperature in degree Celsius (for noise calculation only)

# **Microstrip Mitered Bend**

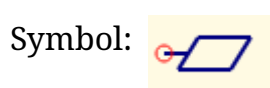
microstrip 50% mitered bend



Name	Default Value	Description
Subst	Subst1	substrate
W	1 mm	width of line

# Microstrip Open

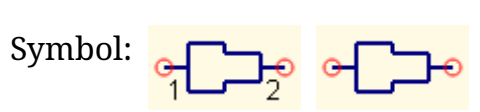
### microstrip open



Name	Default Value	Description
Subst	Subst1	name of substrate definition
W	1 mm	width of the line
Model	Kirschning	microstrip open end model [Kirschning, Hammerstad]

# **Microstrip Step**

microstrip impedance step



Name	Default Value	Description	
Subst	Subst1	substrate	
W1	2 mm	width 1 of the line	
W2	1 mm	width 2 of the line	
Symbol	showNumbers	show port numbers in symbol or not [showNumbers, noNumbers]	

# **Microstrip Stub**

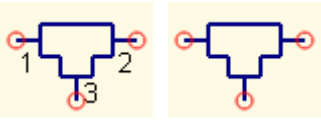
microstrip radial stub



Name	Default Value	Description
Subst	Subst1	name of substrate definition
wi	1 mm	inner stub width
ro	10 mm	outer radius
angle	60	stub angle in degree

# **Microstrip Tee**

### microstrip tee



Name	Default Value	Description
Subst	Subst1	substrate
W1	1 mm	width of line 1
W2	1 mm	width of line 2
W3	2 mm	width of line 3
Symbol	showNumbers	show port numbers in symbol or not [showNumbers, noNumbers]

# Microstrip Via

microstrip via

Symbol: 🕞



Name	Default Value	Description
Subst	Subst1	substrate
D	1 mm	diameter of round via conductor
Temp	26.85	device temperature in degree Celsius (for noise calculation only)

## **Modulated Source**

AC voltage source with modulation



Name	Default Value	Description
V	1 V	peak voltage
freq	1 GHz	frequency
Phase	0	initial phase in degrees
m	1.0	modulation index
type	AM	type of modulation [AM, PM, FM]

## **Monte Carlo**

Monte Carlo - simulation of tolerances



Name	Default Value	Description
Sim		simulation to apply Monte Carlo to
count	20	number of runs

## **Mutual Inductors**

two inductors that are coupled magnetically

Symbol:



Name	Default Value	Description
L1	1 mH	inductance of coil 1
L2	1 mH	inductance of coil 2
k	0.9	coupling factor between coil 1 and 2
R1	0	series resistance of coil 1
R2	0	series resistance of coil 2
Package	line_filter_inductor	for PCB layout only: footprint [line_filter_inductor]

#### **Circuit Model:**

$$v1 = L1 \cdot di1/dt + k \cdot \underbrace{L1 \cdot L2 \cdot di2/dt + R1 \cdot i1}_{L2 \cdot di2/dt + R2 \cdot i2} = j \cdot 2\pi \cdot f \cdot (L1 \cdot i1 + k \cdot \underbrace{L1 \cdot L2 \cdot i2}_{L2 \cdot i1}) + R1 \cdot i1$$

$$v2 = L2 \cdot di2/dt + k \cdot \underbrace{\sqrt{L1 \cdot \sqrt{L2 \cdot i1/dt + R2 \cdot i2}}_{L2 \cdot i1/dt + R2 \cdot i2} = j \cdot 2\pi \cdot f \cdot (L2 \cdot i2 + k \cdot \underbrace{\sqrt{L1 \cdot \sqrt{L2 \cdot i1}}}_{L2 \cdot i1}) + R2 \cdot i2$$

#### **Noise Model:**

R1 and R2 create thermal noise at a temperature of 290K.

#### **System Simulation:**

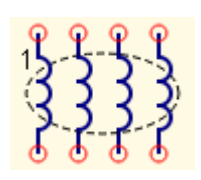
not supported

#### **Digital Simulation:**

not supported

## **Mutual Inductors**

several inductors that are coupled magnetically



Name	Default Value	Description	
coils	4	number of mutual inductances	Circuit Model:
L1	1 mH	inductance of coil 1	v1 = L1 · di1/dt + sum(k1n· _ L1· _ Ln · din/dt) + Ř1·i1 = j·2π·f ·
L2	1 mH	inductance of coil 2	din/dt) + Ř1·i1 ¥ j·2π·f · (L1·i1 +
L3	1 mH	inductance of coil 3	sum(k1n· L1· Ln·in))
L4	1 mH	inductance of coil 4	+ R1·i1
k12	0.9	coupling factor between coil 1 and coil 2	Noise Model:
k13	0.9	coupling factor between coil 1 and coil 3	noise free
k14	0.9	coupling factor between con 1 and con 4	System Simulation: not supported
k23	0.9	coupling factor between coil 2 and coil 3	not supported
k24	0.9	coupling factor between coil 2 and coil 4	<b>Digital Simulation:</b> not supported
k34	0.9	coupling factor between coil 3 and coil 4	

# n-JFET

junction field-effect transistor



Name	Default Value	Description
Туре	nfet	polarity [nfet, pfet]
Vt0	-2.0 V	threshold voltage
Beta	1e-4	transconductance parameter
Lambda	0.0	channel-length modulation parameter
Rd	0.0	parasitic drain resistance
Rs	0.0	parasitic source resistance
Is	1e-14	gate-junction saturation current
N	1.0	gate-junction emission coefficient
Isr	1e-14	gate-junction recombination current parameter
Nr	2.0	Isr emission coefficient
Cgs	0.0	zero-bias gate-source capacitance
Cgd	0.0	zero-bias gate-drain capacitance
Pb	1.0	gate-junction potential
Fc	0.5	forward-bias junction capacitance coefficient
M	0.5	gate P-N grading coefficient
Kf	0.0	flicker noise coefficient
Af	1.0	flicker noise exponent
Ffe	1.0	flicker noise frequency exponent
Temp	26.85	device temperature in degree Celsius
Xti	3.0	saturation current temperature exponent
Vt0tc	0.0	Vt0 temperature coefficient

Betatce	0.0	Beta exponential temperature coefficient
Tnom	26.85	temperature at which parameters were extracted
Area	1.0	default area for JFET
Eg	1.11	energy bandgap in eV
EgTA	7.02e-4	energy bandgap temperature coefficient alpha
EgTB	1108.0	energy bandgap temperature coefficient beta
Package	SOT23	for PCB layout only: footprint [SOT23, TO92]

## **Noise Current Source**

noise current source with power spectral density PSD =  $i^2$  / (a + c\*freq^e)



Name	Default Value	Description
i	1e-6	current density in A/sqrt(Hz)
e	0	frequency exponent
С	1	frequency coefficient
a	0	additive frequency term
tr_sim	no	create noise during transient simulation [yes, no]

## **Noise Generator**

white noise generator



Name	Default Value	Description
samples	0	number of bits to generate (0=take number of simulation component)
vn	1e-9	noise density in 1/sqrt(Hz)
type	normal	amplitude distribution [uniform, normal]

## **Noise Voltage Source**

noise voltage source with power spectral density PSD =  $u^2$  / (a + c\*freq^e)



Name	Default Value	Description
v	1e-6	voltage density in V/sqrt(Hz)
e	0	frequency exponent
С	1	frequency coefficient
a	0	additive frequency term
tr_sim	no	create noise during transient simulation [yes, no]

## npn Transistor

bipolar junction transistor with substrate (Gummel-Poon model) The model is for vertical epitaxy transistors, thus, the substrate is a PN junction to the collector terminal.



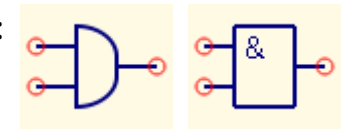
Name	Default Value	Description
Туре	npn	polarity [npn, pnp]
Is	1e-16	saturation current
Nf	1	forward emission coefficient
Nr	1	reverse emission coefficient
Ikf	0	high current corner for forward beta
Ikr	0	high current corner for reverse beta
Vaf	0	forward early voltage
Var	0	reverse early voltage
Ise	0	base-emitter leakage saturation current
Ne	1.5	base-emitter leakage emission coefficient
Isc	0	base-collector leakage saturation current
Nc	2	base-collector leakage emission coefficient
Bf	100	forward beta
Br	1	reverse beta
Rbm	0	minimum base resistance for high currents
IRb	0	current where base resistance falls half-way to its minimum
Rc	0	collector ohmic resistance
Re	0	emitter ohmic resistance
Rb	0	zero-bias base resistance (may be high-current dependent)
Cje	0	base-emitter zero-bias depletion capacitance

Vje	0.75	base-emitter junction built-in potential	
Mje	0.33	base-emitter junction exponential factor	
Cjc	0	base-collector zero-bias depletion capacitance	
Vjc	0.75	base-collector junction built-in potential	
Mjc	0.33	base-collector junction exponential factor	
Xcjc	1.0	fraction of Cjc that goes to internal base pin	
Cjs	0	zero-bias collector-substrate capacitance	
Vjs	0.75	substrate junction built-in potential	
Mjs	0	substrate junction exponential factor	
Fc	0.5	forward-bias depletion capacitance coefficient	
Tf	0.0	ideal forward transit time	
Xtf	0.0	coefficient of bias-dependence for Tf	
Vtf	0.0	voltage dependence of Tf on base-collector voltage	
Itf	0.0	high-current effect on Tf	
Tr	0.0	ideal reverse transit time	
Temp	26.85	device temperature in degree Celsius	
Kf	0.0	flicker noise coefficient	
Af	1.0	flicker noise exponent	
Ffe	1.0	flicker noise frequency exponent	
Kb	0.0	burst noise coefficient	
Ab	1.0	burst noise exponent	
Fb	1.0	burst noise corner frequency	
Ptf	0.0	excess phase in degrees	
Xtb	0.0	temperature exponent for forward- and reverse beta	
Xti	3.0	saturation current temperature exponent	
Eg	1.11	energy bandgap in eV	
Tnom	26.85	temperature at which parameters were extracted	
Area	1.0	default area for bipolar transistor	

EgTA	7.02e-4	energy bandgap temperature coefficient alpha
EgTB	1108.0	energy bandgap temperature coefficient beta

# n-port AND

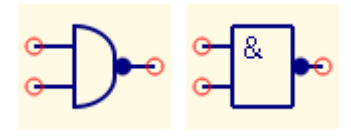
## logical AND



Name	Default Value	Description
in	2	number of input ports
V	1 V	voltage of high level
t	0	delay time
Symbol	old	schematic symbol [old, DIN40900]

# n-port NAND

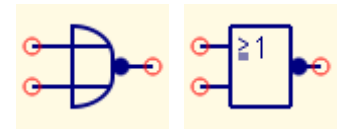
## logical NAND



Name	Default Value	Description
in	2	number of input ports
V	1 V	voltage of high level
t	0	delay time
Symbol	old	schematic symbol [old, DIN40900]

# n-port NOR

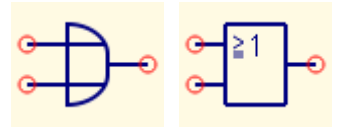
## logical NOR



Name	Default Value	Description
in	2	number of input ports
V	1 V	voltage of high level
t	0	delay time
Symbol	old	schematic symbol [old, DIN40900]

# n-port OR

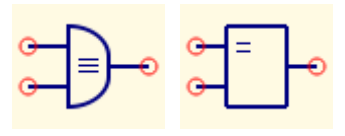
## logical OR



Name	Default Value	Description
in	2	number of input ports
V	1 V	voltage of high level
t	0	delay time
Symbol	old	schematic symbol [old, DIN40900]

# n-port XNOR

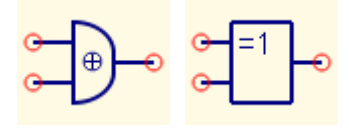
## logical XNOR



Name	Default Value	Description
in	2	number of input ports
V	1 V	voltage of high level
t	0	delay time
Symbol	old	schematic symbol [old, DIN40900]

# n-port XOR

## logical XOR



Name	Default Value	Description
in	2	number of input ports
V	1 V	voltage of high level
t	0	delay time
Symbol	old	schematic symbol [old, DIN40900]

# **OpAmp**

operational amplifier



Name	Default Value	Description
G	1e6	voltage gain
Umax	15 V	absolute value of maximum and minimum output voltage

# **Operation**

### operations



Name	Default Value	Description
Op	addition	operation to perform on input signals [addition, substraction, multiplication]
in	2	number of input ports

# **Optimization**

### Optimization



Name	Default Value	Description
Sim		
Algo	2   2000   1e-5   0.1   1   3	

## parameter sweep

parameter sweep



Name	Default Value	Description
Sim		
Param	R1	
Туре	lin	[lin, log, list]
Start	5	
Stop	50	
Points	10	

## **Phase Shifter**

#### bidirectional phase shifter

Symbol:



Name	Default Value	Description
phi	90	phase shift in degree
Zref	50 Ohm	reference impedance

#### Circuit Model:

changes the phase of the transfered signal.

unity gain when input and output are

matched to the reference impedance. not clearly defined in time domain!

#### **Noise Model:**

noise free

#### **System Simulation:**

changes the phase of the transfered signal (unity gain) The parameter *Zref* is ignored.

#### **Digital Simulation:**

not supported

## **Photodetector**

### photodetector



Name	Default Value	Description
R	0.5	responsivity in A/W
RL	20	load resistance (e.g. from next stage)
С	0	intrinsic capacitance
Tt	0	charge transit time

## **Photodiode**

### photodiode



	O	
Name	Default Value	Description
Resp	0.5	responsivity in A/W
Is	1 fA	saturation current
N	1	emission coefficient
Cj0	10 fF	zero-bias junction capacitance
M	0.5	grading coefficient
Vj	0.7 V	junction potential
Fc	0.5	forward-bias depletion capacitance coefficient
Ср	0.0 fF	linear capacitance
Isr	0.0	recombination current parameter
Nr	2.0	emission coefficient for Isr
Rs	0	ohmic series resistance
Tt	0.0 ps	transit time
Ikf	0	high-injection knee current (0=infinity)
Kf	0.0	flicker noise coefficient
Af	1.0	flicker noise exponent
Ffe	1.0	flicker noise frequency exponent
Bv	0	reverse breakdown voltage (0 = no breakdown)
Ibv	1 mA	current at reverse breakdown voltage
Temp	26.85	device temperature in degree Celsius
Xti	3.0	saturation current temperature exponent
Eg	1.11	energy bandgap in eV

Tbv	0.0	Bv linear temperature coefficient
Trs	0.0	Rs linear temperature coefficient
Ttt1	0.0	Tt linear temperature coefficient
Ttt2	0.0	Tt quadratic temperature coefficient
Tm1	0.0	M linear temperature coefficient
Tm2	0.0	M quadratic temperature coefficient
Tnom	26.85	temperature at which parameters were extracted
Area	1.0	default area for diode
EgTA	7.02e-4	energy bandgap temperature coefficient alpha
EgTB	1108.0	energy bandgap temperature coefficient beta

# **Pulse Shape**

pulse shaper



Name	Default Value	Description
samples	0	number of samples per pulse (0=take number of simulation component)
shape	cosine	shape of pulse [rectangle, linear, cosine, root-cosine, gauss]
type	NRZ	type of pulse [NRZ, RZ, DNRZ, DRZ]
Er	0	extinction ratio (0 = infinity; -1 = multi-level)
D	0.5	duration of symbol transitions (01)

# **QAM**

### QAM modulator



Name	Default Value	Description
I	1	number of bits for I-channel
Q	0	number of bits for Q-channel

# **Rectangle Current**

rectangle current source



Name	Default Value	Description
IH	1 mA	current at high pulse
IL	0 mA	current at high pulse
TH	1 ms	duration of high pulses
TL	1 ms	duration of low pulses
Tr	1 ns	rise time of the leading edge
Tf	1 ns	fall time of the trailing edge
Td	0 ns	initial delay time
type	high_low	pulse sequence [high_low, PRBS_8bit, PRBS_32bit]

# **Rectangle Voltage**

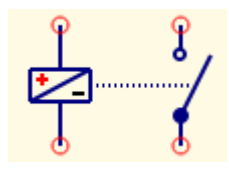
rectangle voltage source



Name	Default Value	Description
VH	1 V	voltage of high signal
VL	0 V	voltage of low signal
TH	1 ms	duration of high pulses
TL	1 ms	duration of low pulses
Tr	1 ns	rise time of the leading edge
Tf	1 ns	fall time of the trailing edge
Td	0 ns	initial delay time
seq	high_low	pulse sequence [high_low, PRBS_8bit, PRBS_32bit]

# Relay

relay



Name	Default Value	Description
Vt	0.5 V	threshold voltage
Vh	0.1 V	hysteresis voltage
Package	relay_crydom_CX240D5	for PCB layout only: footprint [relay_crydom_CX240D5, relay_crydom_SPF240D25]

## Resistor

ideal, lumped resistor



Name	Default Value	Description
R	50 Ω	resistance
Temp	26.85	device temperature in degree Celsius (for noise calculation only)
Symbol	european	schematic symbol [european, US]
Package	SMD0603	for PCB layout only: footprint [SMD0201, SMD0402, SMD0603, SMD0805, SMD1206, resistor_sil2, resistor_0.25W]

#### **Notes:**

- A temperature dependency can be entered as an equation, e.g. R=50\*(1+12e-6\*(Temp-25)) for a resistance with 50 ohms at 25°C and a temperature coefficient of 12 ppm/°C.
- A non-ideal resistor can be found in the library *diverse*. The component *RF\_resitor* has RF parasitics and temperature coefficients.

#### **Circuit Model:**

Ohm's law applies for all frequencies.

#### **Noise Model:**

thermal noise, i.e.  $\langle i^2 \rangle = 4kT/R$  (with T being the device temperature in Kelvin)

#### **System Simulation:**

ideal short circuit

#### **Digital Simulation:**

not supported

# **RS-FlipFlop**

RS flip flop

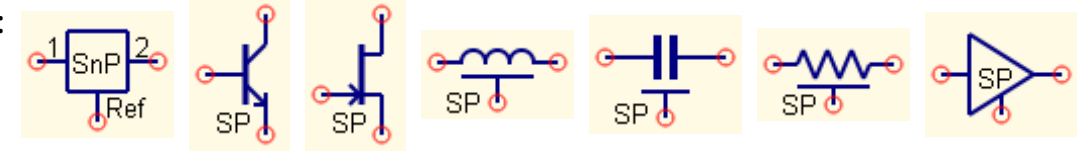


Name	Default Value	Description
t	0	delay time

## S parameter file

n-port S parameter file (Touchstone format)

Symbol:



Name	Default Value	Description
File	test.s2p	name of the s parameter file
Ports	2	number of ports
domain	polar	interpolation domain [rectangular, polar]
interpol	linear	interpolation type [linear, quadratic, cubic]
duringDC	short	representation during DC and transient analysis [open, short, shortall, zerofreq, response]
func	none	for 2-port only: special functions [none, deembed, complexZ0]
Symbol	block	schematic symbol [block, BJT, FET, coil, capacitor, resistor, amp]
Package	SOT23	for PCB layout only: footprint [SOT23, TO92]

#### **Notes:**

The parameter *duringDC* determines the behaviour of this component for DC and transient analysis.

- open omit the component
- *short* connect all signal pins together, leave the reference pin open
- shortall connect all signal pins and the reference pin together
- zerofreq use the s-parameter model at frequency 0 Hz
- response for DC analysis equal to zerofreq, for transient analysis use the impulse response (transform s-parameters into time domain)

## Statz

Statz Raytheon model for GaAs MESFETs



Name	Default Value	Description
Туре	nfet	polarity [nfet, pfet]
W	1	unit gate width relative to nominal value
Ng	1	number of gate fingers relative to nominal value
Vt0	-2.0 V	threshold voltage
alpha	2.0	saturation parameter for Ids in 1/volts
beta	1e-4	transconductance
lambda	0	channel length modulation
b	0	Ids transition from quadratic to linear regime
Is	1 pA	saturation current of gate diode
Ir	1 pA	reverse saturation current of gate diode
N	1	emission coefficient of gate diode
Vbr	0	diode reverse breakdown voltage (0=infinity)
Cds	0	linear drain-source capacitance
Cgs0	0	zero-bias gate-source capacitance
Cgd0	0	zero-bias gate-drain capacitance
Delta1	0.3	capacitance saturation transition voltage
Delta2	0.2	capacitance threshold transition voltage
Vbi	0.85	built-in gate potential
Fc	0.5	linearization parameter of depletion capacitance
Crf	0	capacitance for frequency-dependent DS conductance
Rc	1e9	resistance for frequency-dependent DS conductance
KC	169	resistance for frequency-dependent DS conductance

Rd	0	parasitic drain resistance
Rs	0	parasitic source resistance
Rg	0	parasitic gate resistance
Rin	0	intrinsic GS resistance
Rgd	0	intrinsic GD resistance
alphatce	0	exponential temperature coefficient for alpha
betatce	0	exponential temperature coefficient for beta
Vt0tc	0	linear temperature coefficient for Vt0
Tqm	0.2	temperature coefficient for junction capacitance
Xti	3.0	temperature exponent for Is
Eg	1.11	energy gap (in eV) for temperature effect on Is
Tnom	25	temperature at which parameters were extracted
Temp	25	device temperature in degree Celsius
P	1.0	drain noise coefficient
Kf	0	flicker noise coefficient
Af	1	flicker noise exponent
Ffe	1	flicker noise frequency exponent
Package	SOT23	for PCB layout only: footprint [SOT23, TO92]

# Stripline

### centered stripline



Name	Default Value	Description
Subst	Subst1	name of substrate definition
W	1 mm	width of the line
L	10 mm	length of the line
Temp	26.85	device temperature in degree Celsius (for noise calculation only)

# Stripline Bend

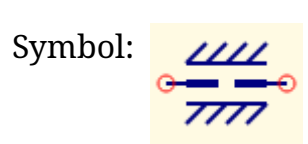
## stripline bend



Name	Default Value	Description
Subst	Subst1	name of substrate definition
W	1 mm	width of the line
P	90	angle of bend in degree

# Stripline Gap

stripline gap



Name	Default Value	Description
Subst	Subst1	name of substrate definition
W	1 mm	width of the line
S	0.5 mm	length of gap

## **Stripline Mitered Bend**

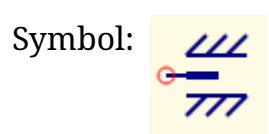
stripline optimal mitered 90 degree bend



Name	Default Value	Description
Subst	Subst1	name of substrate definition
W	1 mm	width of the line
Temp	26.85	device temperature in degree Celsius (for noise calculation only)

# Stripline Open

stripline open end



Name	Default Value	Description
Subst	Subst1	name of substrate definition
W	1 mm	width of the line
L	0 mm	length of the line
Temp	26.85	device temperature in degree Celsius (for noise calculation only)

# **Stripline Step**

stripline impedance step



Name	Default Value	Description
Subst	Subst1	name of substrate definition
W1	1.5 mm	width of line 1
W2	1 mm	width of line 2

# **Stripline Tee**

### stripline tee



Name	Default Value	Description
Subst	Subst1	name of substrate definition
W	1 mm	width of line 1 and 2
Wm	1 mm	width of the middle line

## **Subcircuit**

subcircuit



Name	Default Value	Description
File	test.sch	name of schematic file

### **Subcircuit Port**

port of a subcircuit

Symbol: O- O- O-

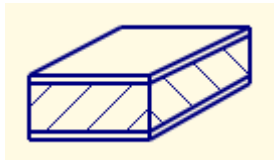
Name	Default Value	Description
Туре	analog	type of the port (for digital simulation only) [analog, in, out, inout]
Package	smd_point	for PCB layout only: footprint [smd_point, con_1]

#### **Notes:**

A schematic that contains at least one port is subcircuit. I.e. it can be used as a component in other schematics. For more details, please read the section <u>Working with Subcircuits</u>.

## **Substrate**

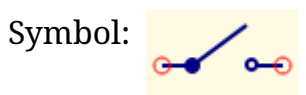
substrate definition



Name	Default Value	Description
er	9.8	relative permittivity
h	1 mm	substrate height
t	35 μm	thickness of metalization
tand	2e-4	loss tangent
rho	1.72e-8	specific resistance of metal
Rz	0	rms substrate roughness
backside	Metal	for coplanar waveguide only: material at the backside of the substrate [Metal, Air]
Model	Hammerstad	for microstrip only: quasi-static model [Hammerstad, Wheeler, Schneider]
DispModel	Kirschning	for microstrip only: dispersion model [none, Kirschning, Hammerstad]

## **Switch**

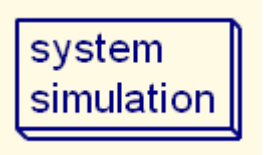
### SPMT switch (time controlled)



Name	Default Value	Description
num	1	number of contacts (throws)
state	0	initial state (0 = off, 1 = contact 1, 2 = contact 2,)
time	1 ms	time when state changes (semicolon separated list possible)
Package	con_2	for PCB layout only: footprint [con_2, smd_jumper2]

# system simulation

time-domain system simulation



Name	Default Value	Description
rate	1 Gbps	symbol rate per second
npSym	16	number of samples per symbol
numSym	32	number of symbols

# **Thyristor**

silicon controlled rectifier (SCR)



Name	Default Value	Description
Vbo	400 V	breakover voltage
Igt	50 μΑ	gate trigger current
Ср	0	parasitic capacitance
Is	1e-10 A	saturation current
N	2	emission coefficient
Ri	10 Ohm	intrinsic junction resistance
Rg	5 Ohm	gate resistance
Ts	1e-6	duration of switching on/off in sec
Temp	26.85	device temperature in degree Celsius (for noise calculation only)

## **TOM3**

### TriQuint's Own Model III (TOM3) for FETs



Name	Default Value	Description
W	1	unit gate width relative to nominal value
Ng	1	number of gate fingers relative to nominal value
Vt0	-2.0 V	threshold voltage
alpha	3.0	saturation parameter for Ids in 1/volts
beta	0.05	transconductance
lambda	0	channel length modulation
gamma	0.1	Vds coefficient for pinch-off change
Q	2.0	power of Ids law
K	3.0	knee function power-law coefficient
Vst	0.05	subthreshold slope voltage
Mst	0	parameter for Vst dependence on Vds
Is	1 pA	saturation current of gate diode
eta	1.25	emission coefficient of gate diode
Ilk	100 nA	reverse leakage saturation current
Plk	2.25	reverse leakage reference voltage
Cds	0	linear drain-source capacitance
Qgql	2e-13	low-power gate charge nonlinear term coefficient
Qgqh	1e-13	high-power gate charge nonlinear term coefficient
Qgi0	1e-4	reference current in high-power gate charge nonlinear Ids term

Qgag	0.75	low-power gate charge nonlinear term exponential coefficient
Qgad	0.65	low-power gate charge nonlinear term exponential Vds coefficient
Qggb	3.0	transition coefficient for combined low-high power charge
Qgcl	1e-13	low-power gate charge linear term coefficient
Qgsh	2e-13	high-power gate charge linear Vgsi term coefficient
Qgdh	1e-13	high-power gate charge linear Vgdi term coefficient
Qgg0	0	combined low-high power additional linear term coefficient
Rd	0	parasitic drain resistance
Rs	0	parasitic source resistance
Rg	0	parasitic gate resistance
Rgmet	0	gate metal resistance
Rdtc	0	linear temperature coefficient for Rd
Rstc	0	linear temperature coefficient for Rs
alphatce	0	exponential temperature coefficient for alpha
betatce	0	exponential temperature coefficient for beta
gammatc	0	linear temperature coefficient for gamma
Vsttc	0	linear temperature coefficient for Vst
Msttc	0	linear temperature coefficient for Mst
Vt0tc	0	linear temperature coefficient for Vt0
Xti	2.5	temperature exponent for Is
Eg	1.11	energy gap (in eV) for temperature effect on Is
Tnom	25	temperature at which parameters were extracted
Temp	25	device temperature in degree Celsius
P	1.0	drain noise coefficient
Kf	0	flicker noise coefficient
Af	1.0	flicker noise exponent
Ffe	1.0	flicker noise frequency exponent

Package	SOT23	for PCB layout only: footprint [SOT23, TO92]
---------	-------	--

### **Transformer**

#### ideal transformer

Symbol:



Name	Default Value	Description
T	1	voltage transformation ratio
Package	line_filter_inductor	for PCB layout only: footprint [line_filter_inductor]

#### **Notes:**

- Keeps the ratio between the voltage across the left terminals and the one across the right terminals constant to factor *T*.
- DC voltages are transformed, too!

#### **Circuit Model:**

$$\mathbf{u}_1 = \mathbf{T} \cdot \mathbf{u}_2$$

$$i_2 = T \cdot i_1$$

$$Z_1 = T^2 \cdot Z_2$$

#### **Noise Model:**

noise free

#### **System Simulation:**

not supported

### **Digital Simulation:**

not supported

## transient simulation

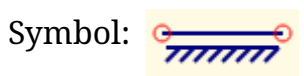
non-linear simulation in time domain



Name	Default Value	Description
Туре	lin	[lin, log, list, steady]
Start	0	
Stop	1 ms	
Points	501	
method	Trapezoidal	integration method [Trapezoidal, Gear1, Gear2, Gear3, Gear4, Gear5, Gear6]
MinStep	1e-16	minimum step size in seconds
MaxIter	500	maximum number of iterations before error
reltol	0.001	relative tolerance for convergence
abstol	1 μΑ	absolute tolerance for convergence
initialDC	yes	perform an initial DC analysis [yes, no]
output	none	additional results in dataset: bias currents or power? [none, bias, power]

## **Transmission Line**

### ideal transmission line



Name	Default Value	Description
Z	50 Ω	characteristic impedance
L	1 mm	length of the line
A	0 dB	attenuation factor per length in 1/m
Temp	26.85	device temperature in degree Celsius (for noise calculation only)
a1		for transient simulation: inital wave at port 1 (=v1 + ZL*i1)
a2		for transient simulation: inital wave at port 2 (=v2 + ZL*i2)

## **Triac**

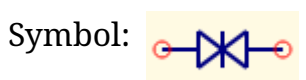
triac (bidirectional thyristor)



Name	Default Value	Description
Vbo	400 V	(bidirectional) breakover voltage
Igt	50 μΑ	(bidirectional) gate trigger current
Ср	0	parasitic capacitance
Is	1e-10 A	saturation current
N	2	emission coefficient
Ri	10 Ohm	intrinsic junction resistance
Rg	5 Ohm	gate resistance
Ts	1e-6	duration of switching on/off in sec
Temp	26.85	device temperature in degree Celsius (for noise calculation only)

## **Tunnel Diode**

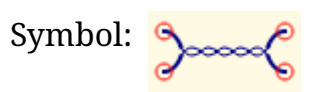
#### resonance tunnel diode



Name	Default Value	Description
Ip	4 mA	peak current
Iv	0.6 mA	valley current
Vv	0.8	valley voltage
Wr	2.7e-20	resonance energy in Ws
eta	1e-20	Fermi energy in Ws
dW	4.5e-21	resonance width in Ws
Tmax	0.95	maximum of transmission
de	0.9	fitting factor for electron density
dv	2.0	fitting factor for voltage drop
nv	16	fitting factor for diode current
Cj0	80 fF	zero-bias depletion capacitance
M	0.5	grading coefficient
Vj	0.5 V	junction potential
te	0.6 ps	life-time of electrons
Temp	26.85	device temperature in degree Celsius (for noise calculation only)
Area	1.0	default area for diode

## **Twisted-Pair**

twisted pair transmission line



Name	Default Value	Description
d	0.5 mm	diameter of conductor
D	0.8 mm	diameter of wire (conductor and insulator)
L	1.5	physical length of the line
Т	100	twists per length in 1/m
er	4	dielectric constant of insulator
mur	1	relative permeability of conductor
rho	0.022e-6	specific resistance of conductor
tand	4e-4	loss tangent
Temp	26.85	device temperature in degree Celsius (for noise calculation only)

# Verilog/VHDL file

VHDL or Verilog file



Name	Default Value	Description
File	sub.v	Name of VHDL or Verilog file

# **Voltage Controlled Current Source**

voltage controlled current source



Name	Default Value	Description
G	1 S	forward transconductance
Т	0	delay time

## **Voltage Controlled Voltage Source**

voltage controlled voltage source

Symbol: G



Name	Default Value	Description
G	1	forward transfer factor
T	0	delay time

## **Voltage Probe**

This component measures the voltage across its terminals and writes the result into the dataset.

Symbol:



Name Do	efault Value	Description	
Package	con_2	for PCB layout only: footprint [con_2, smd_jumper]	Circuit Model:

open circuit

**Noise Model:** 

noise free

**System Simulation:** 

not supported

**Digital Simulation:** 

not supported

# **Voltage Pulse**

voltage pulse source



Name	Default Value	Description
V1	0 V	voltage before and after the pulse
V2	1 V	voltage of the pulse
T1	0	start time of the pulse
T2	1 ms	ending time of the pulse
Tr	1 ns	rise time of the leading edge
Tf	1 ns	fall time of the trailing edge

### Daten exportieren

Dateien von einem Projekt können kopiert werden, indem sie per Drag'n'Drop von der Inhaltsansicht zu einem anderen Ort gezogen werden.

Das Exportieren von Daten erfolgt am besten direkt aus dem Graph eines Diagramms. Rechte Maustaste auf dem Graphen und wählen:

- Graph in Zwischenablage Die Daten befinden sich nun in der System-Zwischenablage und können in ein Tabellenkalkulationsprogramm oder einen Texteditor eingefügt werden. Das Format ist: Unabhängige Variable in der ersten Spalte, Betrag der abhängigen Variable in der nächsten Spalte und Phase (in Grad) der abhängigen Variable in der letzten Spalte.
- Exportiere nach CSV... Erzeugt eine CSV-Datei und schreibt die Daten dort hinein. Das Format lautet: Unabhängige Variable in der ersten Spalte, Realteil der abhängigen Variable in der nächsten Spalte und Imaginärteil der abhängigen Variable in der letzten Spalte.

Datensatz-Dateien können aus dem Inhalt-Tab per rechter Maustaste in das Touchstone-Format konvertiert werden. Der umgekehrte Weg funktioniert ebenso.

Schaltungen oder Diagramme können über die Zwischenablage (STRG+C) in andere Applikationen kopiert werden (STRG+V), wenn diese das EMF-Format unterstützen.

### Daten importieren

Es gibt mehrere Wege, um Dateien zu importieren:

Dateien in das Projekt-Verzeichnis kopieren - Das geschieht, indem man Projekt→Dateien zu Projekt hinzufügen... (CTRL+SHIFT+A) wählt, oder indem man die Dateien einfach in das Inhalt-Tab des Projektes drag'n'dropt. Zum Beispiel ist das sinnvoll für Datenblätter oder Touchstone-Dateien, die zu einigen Simulationen gehören. Erscheinen die Dateien dann in der Inhaltsliste, können sie durch Doppeldrücken geöffnet werden, falls es sich um bekannte Dateitypen wie z.B. Text- oder Gerber-Dateien handelt. Alle anderen kann man mittels Drag'n'Drop auf ein zum Anzeigen geeignetes Programm ziehen.

**Dateien mit dem Import-Dialog konvertieren** - Einige Dateitypen können über das Menü *Projekt→Importiere Daten...* (CTRL+SHIFT+I) importiert werden. Eine andere Möglichkeit ist, die Dateien in den Inhalt-Tab des Projektes zu ziehen und während des Ablegens die STRG- oder Alt-Taste zu drücken (drag'n'drop + STRG oder drag'n'drop + Alt).

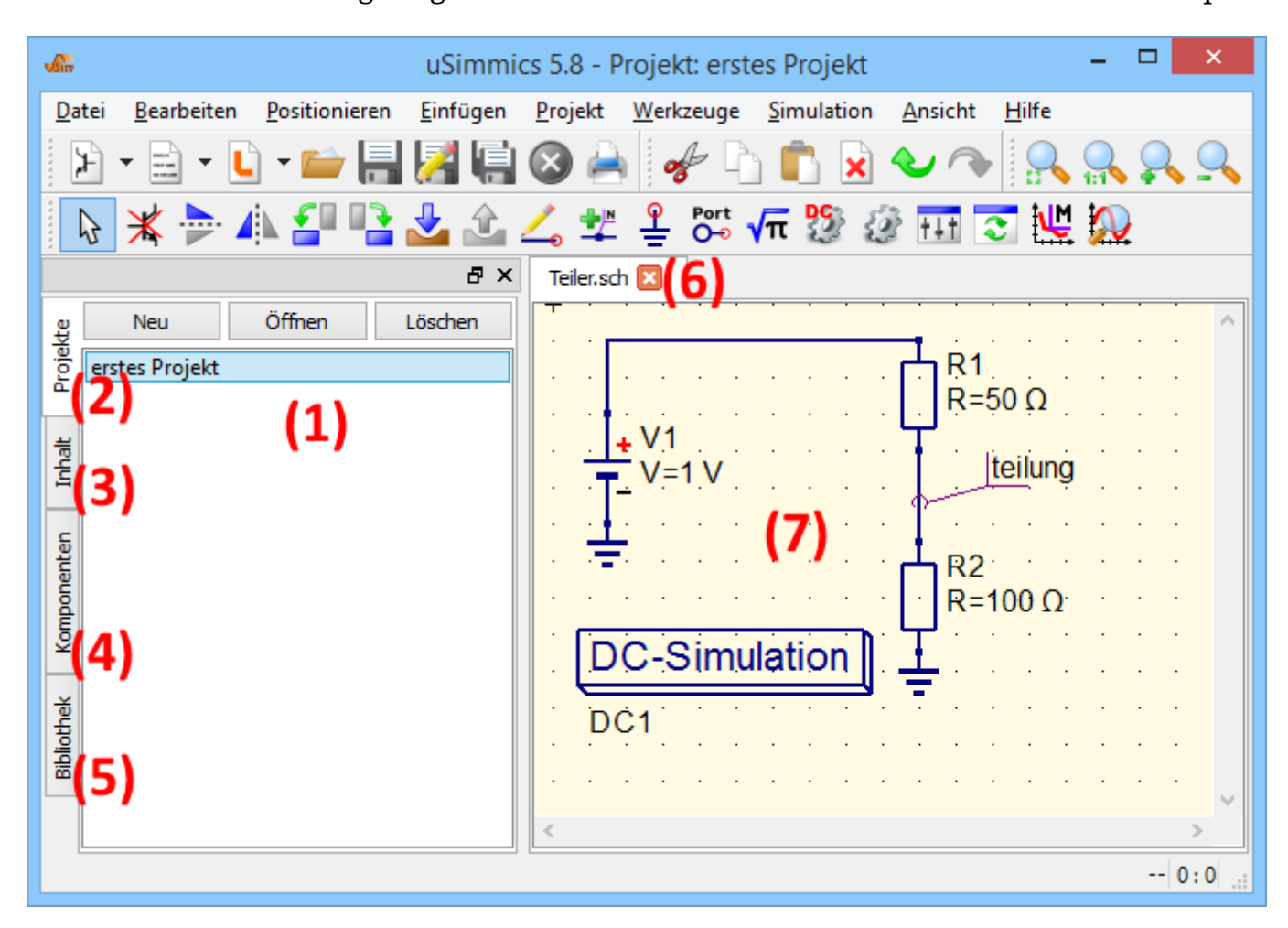
Folgende Datei-Formate werden unterstützt: SPICE-Format (\*.cir)
CITI-Format (\*.citi, \*.cit)
Touchstone-Format (\*.s1p, \*.s2p, usw.)
VCD-Format (\*.vcd)
IC-CAP model files (\*.mdl)
Text-Format mit reellen Zahlen (\*.txt)
Text-Format mit komplexen Zahlen (\*.ri)

Die Text-Formate sind die universellste Möglichkeit für den Import, falls die Daten manuell konvertiert werden müssen. Die Textdatei muss in Spalten organisiert sein und die Zahlen im typischen ASCII-Format enthalten. D.h. die erste Spalte enthält die unabhängige Variable und alle weiteren Spalten (sofern vorhanden) enthalten abhängige Variablen. Bei komplexen Zahlen müssen die Spalten abwechselnd Real- und Imaginärteil enthalten. Optional kann die erste Zeile die Namen der Variablen enthalten.

Mit Hilfe der Zwischenablage - Daten aus ASCII Zahlen können direkt über die Zwischenablage importiert werden. Z.B. können Sie die Spalten mit den Zahlen aus einem Tabellenkalkulationsprogramm kopieren (erste Spalte = unabhängige Variable, zweite Spalte = abhängige Variable, optional dritte Spalte mit imaginär Teil). Wechseln Sie dann zu einem Schaltungs- oder Datenanzeige-Dokument und fügen Sie die Daten ein mit Bearbeiten→Einfügen (STRG+V). Jetzt kann ein kartesisches Diagramm auf das Dokument gesetzt werde. Das Diagramm zeigt die importierten Daten. Beachten Sie, dass während dieses Vorganges eine Datendatei im Projektverzeichnis angelegt wird: Name 'clipboardX.dat', wobei 'X' eine Zahl ist.

### Einführung in Analog-Simulationen

Nachdem die Applikation gestartet wurde, sieht man das Hauptfenster, ähnlich wie das in Bild 1. Auf der rechten Seite ist die Arbeitsfläche (7), welche die Schaltungen, Datenanzeigen usw. enthält. Mit Hilfe des Tab-Balkens (6) darüber, kann man schnell zwischen allen geöffneten Dokumenten hin und her schalten. Auf der linken Seite des Hauptfensters befindet sich eine weitere Fläche (1), dessen Inhalt vom Status des links davon liegenden Tab-Balkens abhängt: "Projekte" (2), "Inhalt" (3), "Komponenten" (4) und "Bibliothek" (5). Nach dem Programmstart ist der "Projekte"-Tab aktiviert. Da dies der erste Programmstart war, ist die Fläche leer, denn es existiert noch kein Projekt. Drücken Sie den "Neu"-Knopf direkt über der Fläche (1) und ein Dialog öffnet sich. Geben Sie den Namen Ihres ersten Projektes ein, z.B. "erstesProjekt" und drücken Sie "Ok". Das Programm erzeugt ein Projekt-Verzeichnis im .qucs Verzeichnis, in diesem Beispiel "erstesProjekt\_prj". Jede Datei, die zu diesem Projekt gehört, wird in dieses Verzeichnis gespeichert. Das neu erzeugte Projekt wird auch gleich geöffnet ( wie man in der Titelleiste des Fensters sehen kann) und der Tab-Balken wechselt zu "Inhalt" (3), wo der Inhalt des momentan geöffneten Projektes angezeigt wird. Zur Zeit existiert noch kein Dokument, also drücken Sie den Speichern-Knopf in der Werkzeugleiste (oder verwenden Sie das Hauptmenü: Datei→Speichern), um das unbenannte Dokument zu speichern, das sich bereits in der Arbeitsfläche (7) befindet. Sie werden nach den Namen des neuen Dokumentes gefragt. Geben Sie "Teiler" ein und drücken Sie den "Ok"-Knopf.



#### Bild 1 - Hauptfenster

Jetzt soll eine einfache DC-Simulation durchgeführt werden, d.h. die Schaltung in Bild 1 soll analysiert werden. Aktivieren Sie den "Komponenten"-Tab ( (4) in Bild 1). Dort sehen Sie oben einen Auswahl-Kasten, wo eine Komponenten-Gruppe gewählt werden kann. Gleich darunter befinden sich die Komponenten der ausgewählten Gruppe. Wählen Sie "konzentrierte Komponenten" und drücken Sie auf das erste Symbol: "Widerstand". Wenn Sie nun den Mauszeiger in die Arbeitsfläche (7) bewegen, führen Sie die Skizze eines Widerstandes mit sich. Drücken der rechten Maustaste dreht dieses Symbol; das Drücken der linken Maustaste fügt den Widerstand in die Schaltung ein. Wiederholen Sie diesen Prozess für alle Komponenten aus Bild 1. Die Spannungquelle findet man in der Komponentenklasse "Quellen", das Masse-Symbol kann aus der Komponentenklasse "konzentrierte Komponenten" oder aus der Werkzeugleiste entnommen werden, die gewünschte Simulation wird durch den großen Simulationsblock definiert, der sich in der Komponentenklasse "Simulationen" befindet. Um die Parameter des zweiten Widerstandes zu verändern, doppelt-drücken Sie auf sein Symbol. Ein Dialog öffnet sich, wo der Widerstandswert editiert werden kann. Ändern Sie "50 Ohm" nach "100 Ohm" im Editierfeld auf der rechten Seite, drücken Sie die Eingabetaste und schließen Sie den Dialog durch DRücken auf den "Ok"-Knopf.

Um die Komponenten zu verbinden, drücken Sie den Werkzeugleisten-Knopf "Draht" (oder benutzen Sie das Hauptmenü: Einfügen→Draht). Bewegen Sie den Mauszeiger auf einen offenen Port (gekennzeichnet durch einen kleinen roten Kreis) und drücken Sie die linke Maustaste, um die Drahtverbindung zu beginnen. Nun bewegen Sie den Mauszeiger zum nächsten Port und Drücken erneut. Die Komponenten sind nun verbunden. Falls die Richtung des Draht-Winkels geändert werden soll, drückt man die rechte Maustaste vor dem Setzen des Endpunktes. Man kann einen Draht auch abschließen, ohne auf einen offenen Port oder Draht zu drücken: Doppel-Druck der linken Maustaste.

Zum Schluß muß der Knoten oder Draht benannt werden, wo die Spannung berechnen werden soll. Drücken Sie hierzu auf den Werkzeugleisten-Knopf "Draht-Bezeichnung" (oder benutzen Sie das Menü: Einfügen→Draht-Bezeichnung). Anschließend drücken Sie auf den gewünschten Draht. Ein Dialog öffnet sich und Sie können den Knoten-Namen eingeben. Geben Sie "Teilung" ein und drücken Sie den "Ok"-Knopf. Jetzt sollte die Schaltung so aussehen, wie in Bild 1.

Um die Simulation zu starten, drücken Sie in der Werkzeugleisten den "Simulieren"Knopf (oder verwenden Sie das Menü: Simulation→Simulieren). Ein Fenster öffnet sich
und zeigt den Fortschritt an. Nach dem erfolgreichen Ende der Simulation öffnet sich ein
neues dokument zur Datenanzeige. Normallerweise geschieht das so schnell, daß nur ein
kurzes Flackern zu sehen ist. Nun muß ein Diagramm eingefügt werden, um das
Simulationsergebnis darstellen zu können. Auf der linken Seite hat sich bereits
automatisch die Komponenten-klasse "Diagramme" geöffnet. Drücken Sie auf das Symbol
"Tabelle", bewegen Sie den Mauszeiger in die Arbeitsfläche und fügen Sie das Diagramm

durch Drücken der linken Maustaste ein. Ein Dialog öffnet sich, wo Sie wählen können, was im neuen Diagramm angezeigt werden soll. In der linken Hälfte stehen die Knoten-Namen, die Sie definiert haben: "Teilung.V". Doppel-Drücken Sie auf den Namen, so wird er in des rechte Feld kopiert. Verlassen Sie den Dialog durch Drücken des "Ok"-Knopfes. Jetzt sehen Sie endlich das Simulationsergebnis: 0.666667 Volt. Wunderbar, klopfen Sie sich selbst auf die Schulter!

Um die weiteren Möglichkeiten kennenzulernen, wird empfohlen, die Beispiele von der Internet-Seite herunterzuladen und auszuprobieren.

### Einführung in Digital-Simulationen

Mit der graphischen Benutzeroberfläche können auch Digital-Simulationen durchgeführt werden. Diese Dokumentation soll eine kurze Beschreibung geben, wie das funktioniert.

Standardmäßig wird eine Digital-Simulation mit Hilfe des *Icarus Verilog Compilation-System* von Stephen Williams durchgeführt. (siehe hierzu <a href="http://iverilog.icarus.com/">http://iverilog.icarus.com/</a>).

Es ist auch möglich, Digital-Simulationen mit VHDL durchzuführen. Dazu wird *GHDL* von Tristan Gingold (siehe <a href="https://github.com/tgingold/ghdl/">https://github.com/tgingold/ghdl/</a>) verwendet.

Es gibt keinen großen Unterschied beim Durchführen einer Analog- oder einer Digital-Simulation. Nachdem Sie die <u>Einführung in Analog-Simulationen</u> gelesen haben, ist es leicht eine Digital-Simulation zum Laufen zu bringen. Zuerst soll die Wahrheitstabelle eines einfachen logischen UND-Gatters berechnet werden. Wählen Sie die digitalen Komponenten in dem Auswahl-Feld des Komponenten-Tabs auf der linken Seite an und erstellen Sie die Schaltung aus Bild 1. Der Digital-Simulation-Block befindet sich unter den digitalen Komponenten und ebenso unter den Simulationsblöcken.

Die digitale Quelle *S1* und *S2* sind die Eingänge, der Knoten mit Namen *Ausgang* ist der Ausgang. Nach dem Ausführen der Simulation öffnet sich die Datenanzeige. Hier kann nun das Diagramm *Wahrheitstabelle* mit der Variable *Ausgang* eingefügt werden. Die Wahrheitstabelle eines UND-Gatters wird jetzt angezeigt. Gratulation, die erste Digital-Simulation ist fertiggestellt!

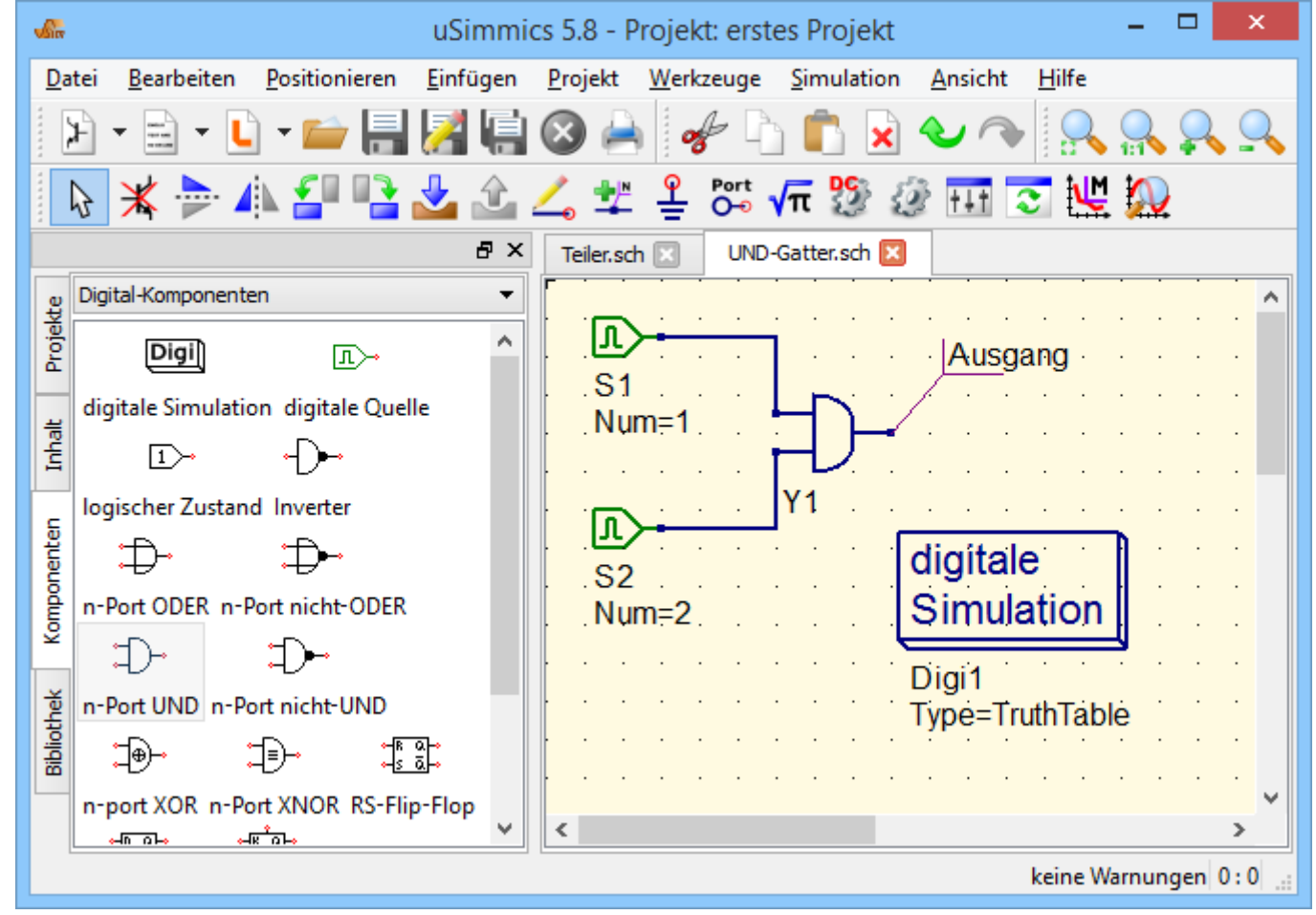


Bild 1 - Hauptfenster

Eine Wahrheitstabelle ist nicht die einzig mögliche Digital-Simulation. Man kann auch ein beliebiges Signal in die Schaltung einspeisen und das Ergebnis in einem Zeitverlauf-Diagramm anzeigen. Um das zu tun, muß der Parameter *Type* im Simulationsblock nach *TimeList* geändert und die Simulationsdauer im nächsten Parameter eingetragen werden. Die digitalen Quellen besitzen nun eine andere Funktion: Sie können eine beliebige Bit-Folge ausgeben. Hierzu wird der Status des ersten Bit (low oder high) angegeben, gefolgt von einer Liste mit Zeitspannen bis zu nächsten Statuswechsel (von high nach low oder umgekehrt). Diese Liste wird bis zum Simulationsende wiederholt durchlaufen. Um also ein 1GHz-Taktsignel mit Tastverhältnis 1:1 zu erzeugen, muß die Liste enthalten: 0.5ns; 0.5ns

Zum Darstellen dieses Simulationsresultates gibt es das Diagramm Zeitverlauf-Diagramm. Darin kann das Ergebnisses aller Ausgangknoten Zeile für Zeile in einem Diagramm gezeigt werden. Na dann, viel Spaß!

### Verilog/VHDL Datei-Komponente

Umfangreichere und universellere Simulationen können mit Hilfe der "VHDL- oder Verilog-Datei" Komponente durchgeführt werden. Diese Komponente kann man in der Komponenten-Liste (Abschnitt "digitale Komponenten") finden. Der empfohlene Weg ist jedoch der folgende: Die Verilog- (oder VHDL-) Datei sollte zum Projekt gehören. Dann

befindet sie sich in der Inhaltsliste in der Rubrik Verilog (oder VHDL). Sie kann angewählt und anschließend in das Zeichenfenster der Schaltung plaziert werden. Das letzte Modul (bzw. der letzte Entität-Block) in der Verilog- (bzw. VHDL-) Datei definiert die Schnittstelle, d.h. alle Ein- und Ausgänge müssen hier deklariert sein. Diese Ports erscheinen auch im Schaltungssymbol und können so mit den Rest der Schaltung verbunden werden. Während der Simulation wird der Quellcode der Datei in die Simulationsdatei eingefügt. Das muß man immer bedenken, weil sich daraus einige Einschränkungen ergeben. Z.B. müssen sich die Namen der Module (bzw. Entitäten) innerhalb der Datei von denen der Unterschaltkreise unterscheiden. (Nach Ende der Simulation kann der gesamte Quellcode durch Drücken von Shift+F5 eingesehen werden. Benutzen Sie diese Möglichkeit um ein Gefühl für die Vorgänge zu gewinnen.)

### Einführung in Octave

Die Applikation kann auch zum Entwickeln von Octave-Skripten verwendet werden (siehe <a href="http://www.octave.org">http://www.octave.org</a>). Hier soll kurz erklärt werden, wie das funktioniert.

Wenn der Benutzer eine Textdatei erzeugt und diese mit der Octave-Endung speichert (name.m), dann wird diese Datei bei den Octave-Skripten des aktuellen Projektes gelistet. Das Skript kann mit der F2-Taste oder durch Drücken auf den Simulieren-Knopf in der Werkzeugleiste ausgeführt werden. Die Ausgabe wird im üblichen Simulationsfenster angezeigt, das sich automatisch öffnet. Es ist zu beachten, dass Octave auch nach Schließen des Simulationsfensters im Hintergrund weiterläuft. Das bedeutet, dass Variablen ihren Inhalt behalten. Falls das nicht gewollt ist, sollte ein Skript mit dem Befehl clear all beginnen.

Es gibt zwei Octave-Funktionen, die Simulationsergebnisse laden: loadQucsVariable() und loadQucsDataset(). Bitte verwenden Sie die Hilfe-Funktion von Octave, um mehr darüber zu erfahren (d.h. führen Sie ein Skript aus mit dem Inhalt *help loadQucsVariable* und *help loadQucsDataset*). Weiterhin gibt es die Funktion saveQucsVariable(), um Daten von Octave zu exportieren.

Es ist auch möglich compilierte Funktionen für Octave zu erstellen, sogenannte mex-Dateien. In der Vorlagen-Liste (Menü: Datei→ Vorlagen→octave\_mex.c) existiert hierzu ein Programmgerüst in C. Dieses kann im eingebauten Text-Editor angepasst und dann mit der F2-Taste compiliert werden. Danach steht es sofort zum Aufrufen in Octave zur Verfügung. Erkannt wird mex-Quellcode an der Direktive #include <octave/mex.h>, die schon deshalb nie fehlen darf.

### **Nachbearbeitung**

Octave ist auch in der Lage, Simulationsergebnisse automatisch nachzubearbeiten. Dies geschieht, indem die Datenanzeige-Datei einer Schaltung editiert wird (*Dokumenten Einstellungen...* im *Datei* Menü). Wenn der Dateiname eines Octave-Skriptes (Dateinamenerweiterung m) aus dem selben Projekt eingegeben wird, dann wird dieses Skript nach Beenden der Simulation ausgeführt.

#### **Octave Hilfe**

Eine komplette Dokumentation über Octave kann im Hilfe-Menü oder mit Shift+F1 aufgerufen werden.

### **Einrichten und erste Schritte**

uSimmics ist ein Simulator für elektronische Schaltungen. Er besitzt eine graphische Benutzeroberfläche, kann viele verschiedene Simulationsarten durchführen und enthält außerdem noch mehrere kleine Hilfsprogramme. Die Applikation benötigt keine Installation.

Wenn das Programm das erste mal gestartet wird, erzeugt es den Ordner ".qucs" im Benutzerverzeichnis. Jede Datei und jedes Unterverzeichnis werden hier gespeichert (z.B. Programm-Einstellungen und Projekt-Verzeichnisse). Der Ort von diesem Verzeichnis kann geändert werden, indem das Programm mit Kommandozeilen-Option aufgerufen wird. Falls der Datei-Pfad Leerzeichen enthält, muss er in Anführungszeichen stehen.

Beispiel:

~\uSimmics\bin\uSimmics.exe -"C:\benutzer\max mustermann\qs\_projekte"

Das geschieht am besten durch Anlegen einer Verknüpfung, also die Datei "uSimmics.exe" bei gedrückter *Alt*-Taste auf den Bilschirmhintergrund ziehen (Drag'n'Drop). Anschließend kann man mit der rechten Maustaste auf diese Verknüpfung drücken und in dem sich öffnenden Menü den Punkt "Eigenschaften" auswählen. Es erscheint ein Dialog, wo im Eingabefeld "Ziel" das Programm "uSimmics.exe" eingetragen ist. Dort lässt sich jede beliebige Kommandozeilen-Option ergänzen.

# Elektromagnetische Feld-Simulationen

Mit dem EM-Simulator können von jeder Mikrostreifen-Leitungsstruktur die S-Parameter simuliert werden können, also auch von solchen, die nicht mit einer Schaltungssimulation berechenbar sind.

Eine einfache Methode, um eine Leiterplatte zu entwerfen, besteht darin, sie zunächst im Schaltungseditor aufzubauen. Dabei müssen alle Komponenten die gleiche Orientierung wie später im Layout besitzen. Das gilt auch für die S-Parameter-Quellen (siehe Bild 1). Der Menü-Punkt *Werkzeuge→PCB-Layout erzeugen* überträgt die fertige Schaltung in ein Layout. Enthielt die Schaltung ein Substrat und eine S-Parameter-Simulation, so werden die dort enthaltenen Daten ebenfalls übernommen. Die EM-Simulation kann daher ohne weiter Eingaben mit der Taste F2 gestartet werden.

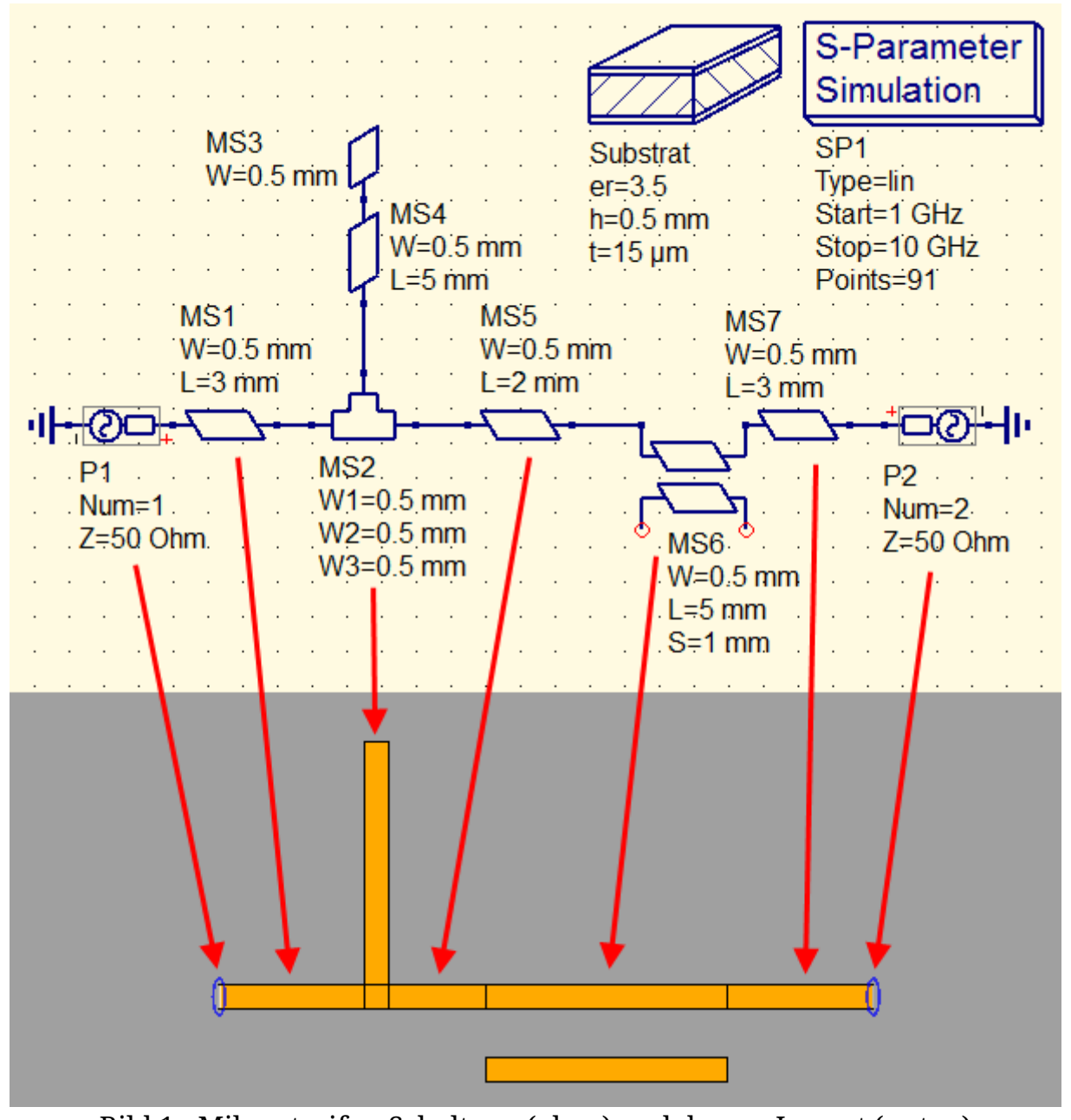


Bild 1 - Mikrostreifen-Schaltung (oben) und dessen Layout (unten)

Vor der eigentlichen Simulation unterteilt die Applikation den Simulationsbereich automatisch in Zellen (Raum-Diskretisierung), die im Layout angezeigt werden. Mit der Taste F8 kann man das Anzeigen dieses Gitternetzes ein- und ausschalten. Die nun folgende elektromagnetische Feld-Simulation benötigt viel Rechenleistung und dauern deshalb oft recht lange. Das Ergebnis ist die erste Spalte der S-Parameter-Matrix (S11, S21, S31, ...), d.h. nur das erste Tor (*Num=1*) ist eine Signal-Quelle, alle anderen Tore bleiben passive Abschlusswiderstände. Die Anregung erfolgt mit einem homogenen elektrischen Feld zwischen Leitung und Masseboden. Da dies nicht dem Mikrostreifen-Moden-Feld entspricht, sollte zwischen der Quelle und der eigentlichen Schaltung immer ein Leitungsstück eingefügt werden, damit sich das elektrische Feld entwickeln kann. (MS1 und MS7 in Bild 1) Weil die Abschlusswiderstände nicht ideal sind, beeinflussen sie das Ergebnis. Je nach Geometrie (Substrat-Dicke usw.) liefert die Simulation daher nur bei Frequenzen unterhalb von 10 bis 20GHz gute Resultate. Mit der F10-Taste kann man sich die Struktur drei-dimensional anschauen.

Das fertige Leiterplatten-Layout kann im Menü *Datei→Exportieren...* im GDS-Format gespeichert werden. Mit Hilfe der so entstandenen Datei können entsprechende Firmen eine Leiterplatte herstellen.

Im Layout-Editor gibt es mehrere Möglichkeiten, die Komponenten zu verändern.

- Das Anwählen einer Komponente erfolgt wie üblich mit einem Maus-Klick darauf. Eine selektierte Komponente hat die Farbe rot.
- Mehrere Komponenten lassen sich anwählen, indem man auf einen freien Bereich drückt und bei gedrückter Maustaste ein Rechteck aufzieht.
- Eine andere Möglichkeit für Mehrfach-Auswahl ist das Anklicken der Komponenten bei gleichzeitig gedrücker STRG-Taste.
- Selektierte Komponenten kann man mit den Knöpfen in der Werkzeugleiste drehen, spiegeln, löschen, kopieren, sowie mit den Cursor-Tasten verschieben.
- Das Doppelklicken auf eine Komponente öffnet einen Dialog zum Ändern der Eigenschaften.
- Neue Komponenten können mit gedrückter Maustaste von der Auswahl auf der linken Seite in das Layout gezogen werden. Auf die gleiche Weise lassen sich Komponenten im Layout verschieben.

### **Detailierte Beschreibung**

Der EM-Simulator verwendet die Methode EC-FDTD. Es handelt sich also um eine dreidimensionale, elektromagnetische Feld-Simulation im Zeit-Bereich. Die Signal-Quelle erzeugt einen gauß-förmigen Puls und berechnet die daraus resultierenden Spannungen und Ströme solange, bis die Puls-Energie abgeklungen ist. Spannung und Strom an den Toren werden anschließend in den Frequenzbereich transformiert und in S-Parameter umgerechnet.

Mit gedrückter STRG- und linker Maustaste kann der Benutzer ein Lineal anzeigen, um Abstände zu messen.

Durch Drücken der mittleren Maustaste (oder einer anderen Maustaste plus Umschalt-Taste) öffnet sich ein Dialog, mit dem man die Diskretisierung editiert kann. Diese Änderungen bleiben allerdings nur solange erhalten, bis das Gitternetz neu erstellt wird (z.B. durch Drücken der F8-Taste). Die geänderte Diskretisierung kann aber mit den entsprechenden Schaltflächen im Dialog in einer Extra-Datei gespeichert werden.

Die Simulations-Parameter lassen sich im Dokumenten-Dialog anpassen (Taste *STRG+.* oder im Menü *Datei→Dokumenten-Einstellungen...*). Die Bedeutung der möglichen Einstellungen sei im folgenden kurz erläutert:

#### Im Reiter Bereich:

- Das **Bildschirm-Gitter** ist die Auflösung der Positionierung, wenn Bauteile mit gedrückter Maustaste oder mit den Cursor-Tasten verschoben werden. Es gilt ausschließlich für die Positionierung der Layout-Elemente auf dem Bildschirm und beeinflußt nicht die EM-Feldsimulation.
- Der **Diskretisierungsfaktor** gibt die maximale Größe der Zellen im Verhältnis zur kleinsten Substrat-Wellenlänge an. Ein größerer Wert verkleinert die Zellen, erhöht also die Genauigkeit der Ergebnisse, verlängert aber auch die Simulationszeit.
- Der seitliche Abstand zum Rand ist die Strecke von den äußersten Leitungsstrukturen bis zum Ende des Simulationsbereiches, also der Abstand links, rechts, oberhalb und unterhalb von der mit Komponenten belegten Fläche. Zusammen mit den Leitungsstrukturen wird so die laterale Größe des gesamten Simulationsbereiches festgelegt. Im Layout-Editor wird diese Fläche durch einen grauen Rahmen angezeigt. Nur innerhalb dieser Fläche erfolgt eine Diskretisierung (Taste F8).
- Der **vertikale Abstand zum Rand** ist die Höhe von der Leiterplatten-Oberfläche bis zum Ende des Simulationsbereiches. Diese Strecke ist im Layout-Editor nicht sichtbar, weil sie senkrecht aus der Zeichenebene herausragt.
- Die Art der Randbedingung beschreibt, welche Eigenschaft das Ende des Simulationsbereiches haben soll. Der Substrat-Boden ist immer eine ideale elektrisch-leitende Fläche. Die Art der anderen fünf Randflächen kann frei gewählt werden. Möglich sind: perfekter elektrischer Leiter (PEC), perfekter magnetischer Leiter (PMC) oder offen mit leichten Reflexionen (Mur-ABC).

### Im Reiter Anregung:

- Die **minimale Frequenz**, **maximale Frequenz** und **Anzahl der Frequenzen** gibt den Frequenzbereich an, der berechnet wird.
- Der **Anregungstyp** definiert die Form des Gauß-Pulses. Ein breitbandiger Impuls führt zwar oft zu kürzeren Rechenzeiten, ist aber auch anfälliger für ein nicht vollständiges Abklingen der Energie. In einem solchen Fall zeigt die Simulation irgendwann keinen Fortschritt mehr. Eine *DC-freie* Anregung ist dagegen oft etwas langsamer, aber stabiler im Abklingen der Energie.

- Die **Energie-Abnahme am Ende** gibt an, wie weit die Energie des Gauß-Pulses abgeklungen sein muss, um die Simulation erfolgreich zu beenden.
- Die max Zeit relativ zum Puls ist ein zweites Abbruchkriterion, das insbesondere dann nützlich ist, wenn die Energie-Abnahme versagt. Es gibt die Zeit an, nach der die Simulation erfolgreich endet. Der Wert bezieht sich auf die Länge des anregenden Pulses, d.h. "100" bedeutet hundert Mal so lange wie der Gauß-Puls.

Die Parameter im Reiter **Substrat** entsprechen jenen aus dem Schaltungssimulator (Substrat-Komponente aus Bild 1).

# Leiterplatten-Layout

Die Applikation enthält das Leiterplatten-Layoutprogramm *itecad.exe* (<a href="http://www.itecad.it">http://www.itecad.exe</a> (<a href="http://www.itecad.exe">http://www.itecad.exe</a> (<a href="http://www.itecad.ex

Einige Komponenten wie Widerstände, Kondensatoren und Transistoren besitzen eine Eigenschaft mit Namen *Package*. Diese bestimmt den Footprint, der in dem Layout-Programm verwendet wird. Der Benutzer kann seine eigenen PCB-Komponenten mit Hilfe von <u>Unterschaltkreisen</u> erzeugen. Wenn der Name der letzten Eigenschaft *Package* heißt, dann wird der Inhalt für den Import in das PCB-Programm benutzt. Natürlich ist es auch möglich eine gesamte Benutzer-Bibliothek zu erstellen, deren Komponenten in dem Leiterplatten-Layouter verwendet werden können.

Nachdem die Schaltung erstellt und die Footprints eingestellt wurden, kann dies alles zum Layout-Programm übertragen werde, indem die F10-Taste betätigt wird oder per Menü Werkzeuge→Übertrage zum PCB-Layouter. Dadurch wird die Netzliste in der Datei name.net im Projekt-Verzeichnis gespeichert, und anschließend das Leiterplatten-Layoutprogramm gestartet. Dort öffnet sich ein Dialog, der die importierten Elemente auflistet. Nach dem Schließen dieses Dialoges kann das Layouten beginnen. Das Programm speichert die Leiterplatte unter den Namen name.ite im Projektverzeichnis, wo sie in der Rubrik Leiterplatten-Layouts erscheint.

Nachträgliche Änderungen im Schaltungseditor können jederzeit in das Leiterplatten-Layout übernommen werden. Dies geschieht wieder mit der F10-Taste. In dem bereits geöffneten Layoutprogramm erscheint dann automatisch das Dialog-Fenster, welches die Änderungen auflistet. Auch die Leiterplatten-Komponenten sind nun wieder mit der Schaltung konsistent.

Sobald das Leiterplatten-Layout fertig ist, kann man die Gerber-Dateien erstellen. Das geschieht im Menü  $Ausgabe \rightarrow Gerber$ . In dem Dialog können noch einige Einstellungen vorgenommen werden, bevor mit dem Ok-Knopf die Gerber-Dateien im Projektverzeichnis gespeichert werden. Sie erscheinen im Inhalts-Reiter unter Anderes mit der Endung .gbr. Durch Doppel-Klicken mit der Maus können diese Dateien im Gerber-Anzeiger betrachtet werden. Dort lassen sich auch mehrere Gerber-Dateien übereinander legen, indem man im Menü  $File \rightarrow Load$  Gerber File eine weitere Schicht hinzufügt.

## 3D-Ansicht

In dem PCB-Layoutprogramm existiert auch der Reiter *3D-Ansicht*, der die Leiterplatte 3-dimensional darstellt. Das Bild kann man drehen (linke Maustaste gedrückt halten) oder verschieben (rechte Maustaste gedrückt halten). Wie die einzelnen Komponenten hier aussehen bestimmt deren Eigenschaft *3D-Gehäuse*. (Doppelklick auf Komponente im

Reiter *Leiterplatte*) Dort kann entweder der Name einer pkg3d-Datei oder die Höhe (in Inch) und Farbe (als Name oder hex-RGB) eines Rechteckes eingegeben werden. Letzteres muss mit einem Sternchen beginnen und folgendes Format aufweisen:

\*1.5;black

\*0.1;#FFAA00

## **Mathematische Funktionen**

Diagramm-Graphen und Komponenten-Parameter enthalten gewöhnlich Variabeln oder Nummern. Allerdings können auch Gleichungen verwendet werden. Deren Syntax wird im folgenden Text beschrieben.

#### Name der Variablen

Die Suffixe (wie z.B. .vt) dienen der Unterscheidung einzelner Simulationsarten. In Schaltungsformeln können sie weggelassen werde.

Knotenname. V Gleichspannung am Knoten Knotenname

Name.dv Gleichspannung über Voltmeter Name

Name. I Gleichstrom durch Komponente Name

Knotenname. v Wechselspannung am Knoten Knotenname

Name.dv Wechselspannung über Voltmeter Name

Name.i Wechselstrom durch Komponente Name

Knotenname.vn Rauschspannung am Knoten Knotenname

Name.in Rauschstrom durch Komponente Name

Knotenname. Vt Transientenspannung am Knoten Knotenname

Name.It Transientenstrom durch Komponente Name

Knotenname. Vb Harmonic-Balance-Spannung am Knoten Knotenname

Name. 1b Harmonic-Balance-Strom durch Komponente Name

Knotenname.vbn Harmonic-Balance-Rauschspannung am Knoten Knotenname

Name.ibn Harmonic-Balance-Rauschstrom durch Komponente Name

Knotenname.vamn = Einseitenband-Amplituden-Rauschspannung (relative zu Träger) am

Knoten Knotenname

Einseitenband-Phasen-Rauschspannung (relative zu Träger) am Knotenname. vpmn

Knoten Knotenname

Name[3] Indizierung der Variable Name (Index 1...N)

S[2,1] S-Parameter Wert

optimaler Quellenreflektionsfaktor normalisiert zur Eingangstor-

**Impedanz** 

NF Rauschzahl in Dezibel

NFmin minimale Rauschzahl in Dezibel

Rn äquivalenter Rauschwiderstand in Ohm

#### Hinweise:

- Alle Spannungen und Ströme sind Spitzenwerte.
- Rauschspannungen und -ströme sind Effektivwerte mit 1Hz Bandbreite, d.h. Einheit: V/ Hz bzw. A/ Hz.

#### **Präfixe**

Falls eine Zahl von einer Einheit gefolgt wird, dann hat der Präfix der Einheit die Bedeutung eines zusätzlichen Faktors zu der Zahl. Beispiele:  $1 \, nA = 1nX = 1n = 1e-9$ . Bei dem Skalierungsbuchstaben muss auf Groß-/Kleinschreibung geachtet werden. Paßt der erste Buchstabe zu keiner Skalierung, wird er ignoriert (z.B.  $50 \, Ohm = 50$ ). Bekannte Skalierungen sind:

```
1e-15
f
        1e-12
р
        1e-9
u oder u 1e-6
        1e-3 (nur zusammen mit Einheit, z.B. 2mA=2e-3 aber 3m=3meter=3)
        1e-2
С
        1e-1
d
k
        1e3
        1e6
М
        1e9
G
Τ
        1e12
mil
        2.54e-5 (= 1/1000 inch)
dΒ
        10^{(Zahl/10)}
        10^(Zahl/10) * 1e-3
dBm
        pi / 180 (konvertiert Grad nach Radiant)
```

### Vektoren

Zahlenvektoren können als komma-getrennte Liste erzeugt werden. Beispiel: [2.5,5.6, 7,-3]

#### Konstanten

```
    imaginäre Einheit ("Quadratwurzel von -1")
    imaginäre Einheit ("Quadratwurzel von -1")
    pi Kreiszahl = 3.14159... (Verhältnis von Umfang zu Durchmesser eines Kreises)
    e Eulersche Konstante = 2.71828...
```

```
Boltzmann-Konstante = 1.38065...e-23

To Standard-Temperatur = 290

Tok absoluter Nullpunkt (T = 0K) in Grad Celsius = -273.15

mu0 magnetische Feldkonstante = 12.566...e-7

e0 elektrische Feldkonstante = 8.85...e-12

vakuum-Lichtgeschwindigkeit = 299792458

ZFO Wellenwiderstand im Vakuum = 376.7...

qelectron Elementar-Ladung = 1.6...e-19
```

## **Operatoren**

+x unäres Plus

-x unäres Minus

x+y Addition

x-y Subtraktion

x\*y Multiplikation

x/y Division

x^y Potenz

x<y ergibt 1 falls x kleiner als y, sonst 0

x>y ergibt 1 falls x größer als y, sonst 0

### **Funktionen**

real(x)	Realteil einer komplexen Zahl
imag(x)	Imaginärteil einer komplexen Zahl
conj(x)	conjugiert-komplexe Zahl
polar(mag,phase)	komplexe Zahl mit Betrag <i>mag</i> und Phase <i>phase</i> in Grad
abs(x)	Betrag
mag(x)	Betrag
norm(x)	Norm (Betrag zum Quadrat)
phase(x)	Phase in Grad (-180°0°+180°)
wphase(x)	Phase in Grad, versucht Sprünge zu vermeiden
vswr(x)	konvertiert Reflektionsfaktor $\boldsymbol{x}$ nach Spannungs-Stehwellenverhältnis (VSWR)
dB(x)	Spannungsdezibel= 20*log10( x )

konvertiert Spannung über Impedanz Z nach Wirkleistung in dBm

(Parameter Z is optional, default 50)

sqrt(x) Quadratwurzel

exp(x) Exponentialfunktion zur Basis e

begrenzte Exponentialfunktion zur Basis e, d.h. die Funktion wird

linear falls x größer *lim* ist (Parameter *lim* is optional, default 80)

ln(x) natürlicher Logarithmus

log10(x) dekadischer Logarithmus

sin(x) Sinus

cos(x) Cosinus

tan(x) Tangens

arcsin(x) Arcus Sinus in Radiant

arccos(x) Arcus Cosinus in Radiant

arctan(x) Arcus Tangens in Radiant

sinh(x) Sinus Hyperbolicus

cosh(x) Cosinus Hyperbolicus

tanh(x) Tangens Hyperbolicus

length(x) Anzahl der Elemente in x

if (cond, x1, x2) ergibt x1, wenn cond größer 0, sonst x2.

 $\min(x)$  Minimum aller Werte in x

 $\max(x)$  Maximum aller Werte in xs

average(x) (arithmetischer) Mittelwert aller Werte in x

sum(x) Summe aller Werte in x

prod(x) Multipliziert alle Werte in x

count(x) Anzahl der Werte in erster Dimension von x

diff(x) Ableitung nach der ersten Abhängigkeit

int(x) integriert über die erste Abhängigkeit

gdelay(x) Gruppenlaufzeit von x

 $\operatorname{smooth}(x,n)$  Tiefpaß-Filter durch Mittelwert über die n vorigen und n

nachfolgenden Werte (Parameter n ist optional, default 5)

xvalue(f,y) x-Wert von f dessen y-Wert am nächsten zu y ist

yvalue(f,x) y-Wert von f dessen x-Wert am nächsten zu x ist

range(f,x1,x2) y-Werte von f dessen x-Werte zwischen x1 und x2 liegen

erzeugt Zahlenvektor der Länge *n* von *x1* bis *x2* mit linearer

linspace(x1,x2,n) Schrittweite

<pre>max_gain_dB()</pre>	maximale Verstärkung in Dezibel, d.h. MSG für K<1 und MAG sonst (nur bei S-Parametern)
<pre>max_ulgain_dB()</pre>	maximale unilaterale Verstärkung in Dezibel, d.h. Mason's Invariant (nur bei S-Parametern)
rollet()	Stabilitätsfaktor nach Rollet K (nur bei S-Parametern)
detS()	Determinante (nur für 2-Tor S-Parameter)
mu()	Stabilitätsfaktor bezogen auf die Quelle (Tor 1) (nur bei S-Parametern)
mu2()	Stabilitätsfaktor bezogen auf die Last (Tor 2) (nur bei S-Parametern)
ztor(x,Z)	konvertiert Impedanz nach Reflexionskoeffizient mit Referenz- Impedanz Z (Parameter Z is optional, default 50)
stoz(S,Z)	transformiert S-Parameter mit Referenzimpedanz Z nach Z-Parameter, Parameter Z ist optional, default ist 50, unterschiedliche Impedanzen sind möglich, z.B. [25, 75]
stoy(S,Z)	transformiert S-Parameter mit Referenzimpedanz Z nach Y-Parameter, Parameter Z ist optional, default ist 50, unterschiedliche Impedanzen sind möglich, z.B. [25, 75]
stoh(S,Z)	transformiert Zwei-Tor-S-Parameter mit Referenzimpedanz Z nach H-Parameter, Parameter Z ist optional, default ist 50, unterschiedliche Impedanzen sind möglich, z.B. [25, 75]
stoa(S,Z)	transformiert Zwei-Tor-S-Parameter mit Referenzimpedanz Z nach ABCD-Parameter, Parameter Z ist optional, default ist 50, unterschiedliche Impedanzen sind möglich, z.B. [25, 75]

## Funktionen nur in Diagrammen

plot(x,y)	zeichnet y über x
time2freq(x,w)	transformiert vom Zeit- in den Frequenzbereich mit optionaler Fenster-Funktion $w$ (0=keine, 1=Dreieck, 2=Welch, 3=Hanning, 4=Hamming, 5=Blackman, 6=Blackman-Harris, 7=30dB Abfall pro Oktave, 8=flache Spitze, -1=Rauschen nach V/Wurzel(Hz) konvertieren)
<pre>freq2time(x,w)</pre>	transformiert vom Frequenz- in den Zeitbereich mit optionaler Fenster-Funktion $\boldsymbol{w}$ (siehe oben)
tdr(x,w)	Zeitbereichsreflektrometrie (TDR) von $x$ (z.B. S[1,1]) mit Fenster-Funktion $w$ wie bei $time2freq()$
stabS()	Stabilitätskreis in der Quellen-Ebene (nur bei S-Parametern)
stabL()	Stabilitätskreis in der Last-Ebene (nur bei S-Parametern)
GaCircle(g)	Kreis mit konstanter verfügbarer Leistungsverstärkung $g$ in der Quellen-Ebene (nur bei S-Parametern)

GpCircle(g)	Kreis mit konstanter effektiver Leistungsverstärkung <i>g</i> in der Last- Ebene (nur bei S-Parametern)
noiseCircle(NF)	Kreis konstanter Rauschzahl <i>NF</i> in dB (nur bei S-Parametern mit Rauschanalyse)
IP1dB(v,freq)	Eingangs-1dB-Kompression von HB-Spannung v bei Frequenz freq (Parameter freq ist optional, default ist die erste Frequenz)
OP1dB(v,freq)	Ausgangs-1dB-Kompression von HB-Spannung <i>v</i> bei Frequenz <i>freq</i> (Parameter <i>freq</i> ist optional, default ist die erste Frequenz)
polarPat(E,w,t)	Antennen-Richtcharakteristik für Polardiagramme mit $w$ = Winkel, $t$ = 0 (Azimut) oder 1 (Elevation)
poisson(N,EW,kum)	Poisson-Wahrscheinlichkeitsverteilung von <i>N</i> Werten mit Erwartungswert <i>EW</i> ( <i>kum</i> =1 bedeutet kumulierter Wert)

## Funktionen nur in Schaltungsformeln

Toleranz für Monte-Carlo-Simulation; x Mittelwert, v Toleranz in Prozent und optional d Verteilungsart (0=normal (default), 1=gleich)

## Referenzen

Diese Applikation verwendet die folgenden Programme. Vielen Dank an alle Autoren für ihre großartige Arbeit!

uSimmics - grafische Benutzeroberfläche und Schaltungssimulator

Autor: Michael Margraf http://qucsstudio.de/

**ADMS** - Code-Generator für VerilogA ursprünglicher Autor: Laurent Lemaitre https://sourceforge.net/projects/mot-adms/

**MinGW** - Minimalistisches GNU für Windows, C/C++ Compiler http://www.mingw.org/

Icarus Verilog - Verilog-Simulations- und Synthese-Werkzeug

Autor: Stephen Williams http://iverilog.icarus.com/

GHDL - VHDL-Simulations- und Synthese-Werkzeug

Autor: Tristan Gingold

https://sourceforge.net/projects/ghdl-updates/

**KiCad** - eine Umgebung für den Entwurf elektronischer Schaltungen ursprünglicher Autor: Jean-Pierre Charras http://www.kicad.org/

**Octave** - eine interpretierende Sprache für numerische Datenverarbeitung ursprünglicher Autor: John W. Eaton http://www.gnu.org/software/octave/

hyp2mat - HyperLynx-Format-Leser

Autor: Koen De Vleeschauwer

https://github.com/koendv/hyp2mat/

libGDSII - GDSII-Datei-Leser

Autor: M. T. Homer Reid

http://github.com/HomerReid/libGDSII/

COLAMD - COLumn Approximate Minimum Degree (entnommen aus SuperLU) ursprüngliche Autoren: Stefan I. Larimore, Timothy A. Davis Copyright (C) 2003, The Regents of the University of California, through Lawrence Berkeley National Laboratory (subject to receipt of any required approvals from U.S. Dept. of Energy) http://crd-legacy.lbl.gov/~xiaoye/SuperLU/

**Icons** - einige Icons stammen aus der Oxygen-Sammlung (KDE) Autoren: The Oxygen Team (David Vignoni und weitere) http://www.oxygen-icons.org/

**Icons** - einige Icons stammen aus der Echo-Sammlung Autoren: The Echo Team (Fedora-Projekt) https://fedorahosted.org/echo-icon-theme/

**Qucs** - ziemlich universeller Schaltungssimulator, das ursprüngliche Projekt ursprüngliche Autoren: Michael Margraf, Stefan Jahn http://qucs.sourceforge.net/

# Schaltungs-Optimierer

Die Optimierung einer Schaltung ist die Suche nach Komponenten-Werten, die zu einem bestimmten Verhalten der Schaltung führen. Bild 1 zeigt eines der bekanntesten Optimierungsprobleme. Eine Quelle mit Innenwiderstad *R\_intern* wird mit einem Lastwiderstand *R\_load* verbunden. Der Lastwiderstand soll optimiert werden, um die größte Leistung aus der Quelle zu erhalten. Die Lösung ist weithin bekannt, trotzdem es ist ein gutes Beispiel, um zu zeigen, wie eine Optimierung funktioniert.

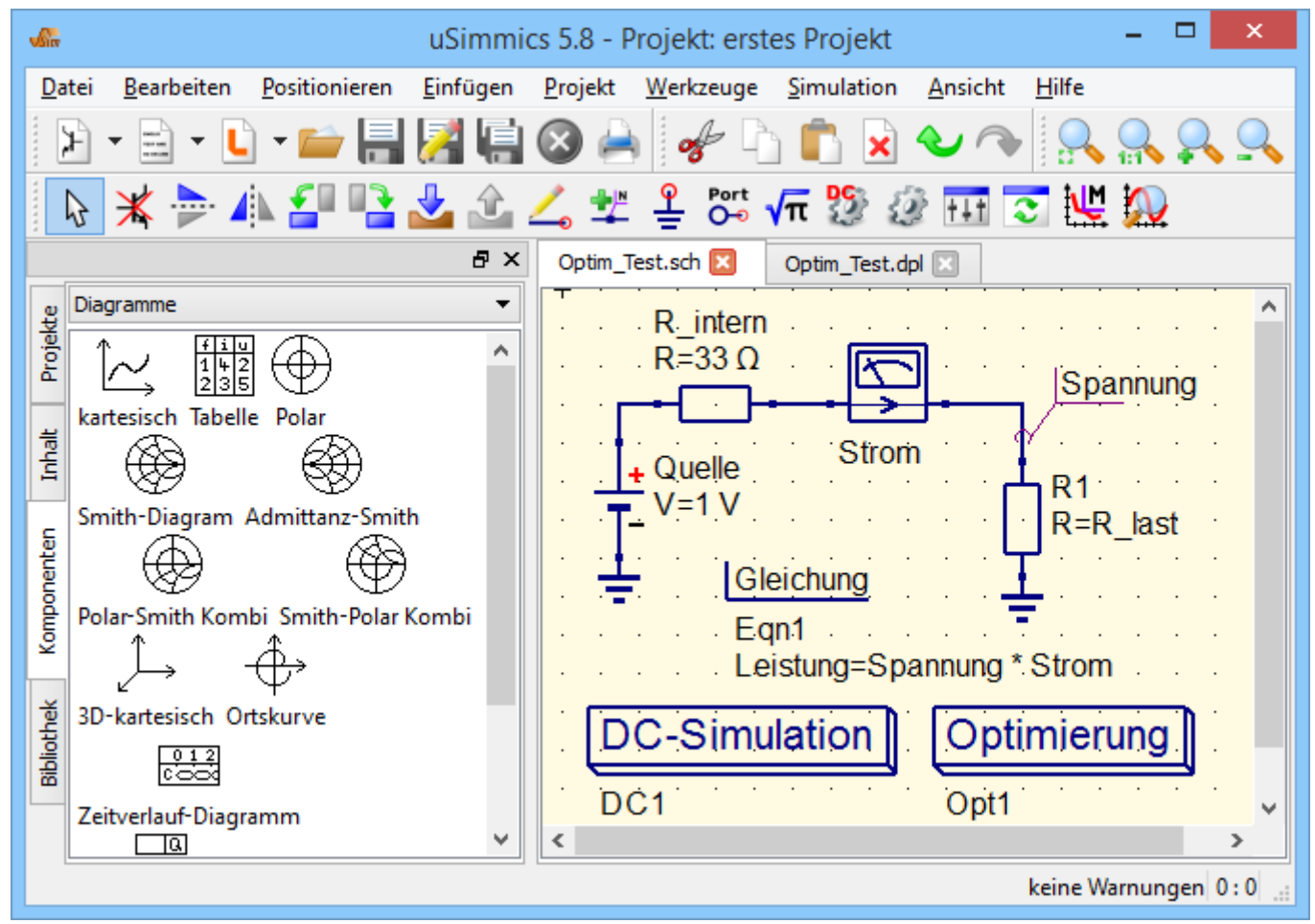


Bild 1 - Zu optimierende Schaltung

Nach Erstellen der Schaltung aus Bild 1 muss die Optimierung eingerichtet werde. Doppel-Drücken auf die Optimierungskomponente öffnet einen Dialog mit drei Reitern. Auf dem ersten Reiter muss die gewünschte Simulationskomponente angegeben werden. Da in diesem Fall nur eine in der Schaltung ist, hat der Dialog bereits die richtige Entscheidung getroffen. Weiterhin können mehrere Parameter bezüglich des Algorithmus geändert werden; meistens sind die Default-Werte jedoch in Ordnung. Auf dem zweiten Reiter müssen die Variablen eingegeben werden, die während des Optimierungsprozesses variiert werden sollen. Bild 2 zeigt, was hier für das Beispiel aus Bild 1 getan werden muss: Der Last-Widerstand ist der gesuchte Wert. Die Simulation soll mit 10 beginnen (initial) und kann Werte von 0 bis 1000 verwenden.



Bild 2 - Optimierungsdialog mit Variablen-Reiter

Eine bequemere Möglichkeit, Variablen zum Optimierer hinzuzufügen, ist in Bild 2a zu sehen. Ein Klick mit der rechten Maustaste auf den gewünschten Komponenten-Parameter öffnet ein Menü. Hier wählt man den obersten Punkt, was sofort die Optimierungsvariable erzeugt.

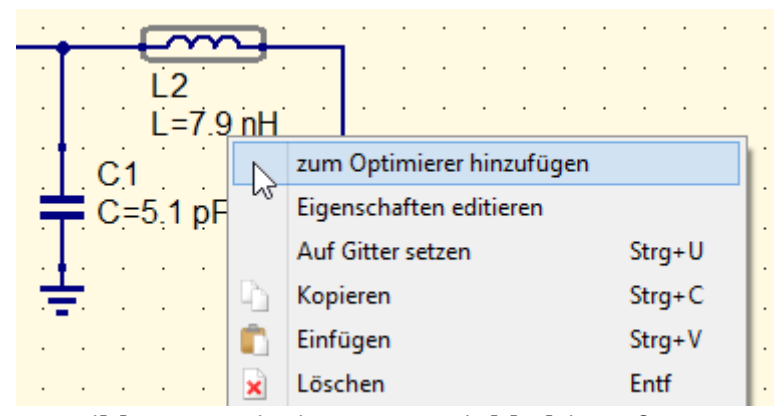


Bild 2a - Optimierungsvariable hinzufügen

Bild 3 zeigt den dritten Reiter des Optimierungsdialoges. Hier müssen die Optimierungsziele eingegeben werdren. Beim Beispiel aus Bild 1 muss die Leistung, die von der Quelle abgegeben wird, maximiert werden. Die Leistung wird von der Gleichungs-Komponente in der Schaltung berechnet. Somit muss der Name dieser Variablen eingegeben und der Typ *maximieren* gewählt werden. Bei mehreren Zielen gibt der Parameter *Gewichtung* deren Wichtigkeit an, d.h. wurde ein Ziel nicht erreicht, so kann dessen Priorität mit einer höheren Gewichtung verstärkt werden.



Bild 3 - Optimierungsdialog mit Ziele-Reiter

Eine bequemere Möglichkeit, Ziele zum Optimierer hinzuzufügen, ist in Bild 3a zu sehen. Ein Klick mit der rechten Maustaste auf die gewünschte Gleichung öffnet ein Menü. Hier wählt man den obersten Punkt, was sofort das Optimierungsziel erzeugt.

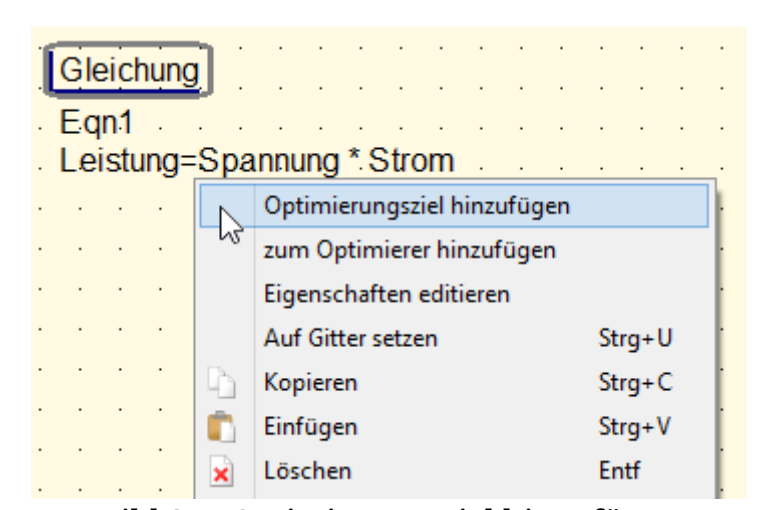


Bild 3a - Optimierungsziel hinzufügen

Nun ist alles fertig und die Simulation kann mit F2 gestartet werden. Der Optimierer sucht den am besten geeigneten Variablen-Wert und wenn der gefunden wurde, können die Ergebnisse mit dem gefundenen Optimum angezeigt werden, wie bei allen anderen Simulationen auch. Wie erwartet gleicht der optimale Last-Widerstand dem Innenwiderstand der Quelle. Natürlich trifft der Optimierer nie den genauen Wert, aber einen, der sehr nah dran liegt.

Wechselt man wieder in die Schaltung, so können mit der F6-Taste (oder im Menü *Simulation*) die optimalen Werte als Startwerte in die Optimierungskomponente übernommen werden. Durch rechten Mausklick auf die Optimierungskomponente erhält man außerdem ein Menü, in dem der Punkt *Variablen bearbeiten* es ermöglicht,

die optimalen Werte direkt in die Schaltung zu übertragen.

#### Optimierungsmethoden

Eine wichtige Option in der Optimierungskomponent ist die Methode, die zum Auffinden des Optimums Verwendung findet. Grob gesprochen gibt es drei Arten von Algorithmen:

- Das Verfahren *Gitter-Suche* schreitet den benutzer-definierten Variablen-Bereich ab, wobei es sich die beste Position merkt. Diese Methode eignet sich nur für Probleme mit wenigen, eng eingegrenzten Variablen. Für gewöhnlich ist dies nicht die beste Wahl.
- Zu den Verfahren, die dem Gefälle der Zielfunktion folgen, gehören steilstes Gefälle und Nelder-Mead. Sie finden nur dann das Optimum, wenn keine lokalen Minima existieren, oder wenn sich der Anfangswert nahe genug am globalen Minimum befindet. Nelder-Mead ist hiervon die robusteste Methode, steilstes Gefälle ist jedoch meistens schneller.
- Für sehr schwierige Probleme mit mehreren lokalen Minima eignen sich nur heuristische Verfahren wie differenzielle Evolution (DE). Sie benötigen viele Simulationsläufe, sind dafür aber erstaunlich erfolgreich. Am besten hat sich hier DEGL/SAW bewährt. Aber auch DE/best-of-rand/2/bin liefert meistens sehr gute Resultate. Für sehr hartnäckige Probleme lohnt sich außerdem DE/rand/1/bin auszuprobieren. Für die Größe der Population hat sich bewährt, die zehnfache Anzahl der verwendeten Variablen zu benutzen.